

# جنبه‌های کانی‌شناختی، زمین‌شیمیایی و زایشی کانی‌سازی کانسار مولیدن – مس پورفیری نوچون، استان کرمان، ایران

سیما سلطانی‌نژاد<sup>۱</sup> و بهنام شفیعی<sup>۲\*</sup>

<sup>۱</sup> کارشناسی ارشد، گروه زمین‌شناسی، دانشکده علوم پایه، دانشگاه گلستان، گرگان، ایران.

<sup>۲</sup> استادیار، گروه زمین‌شناسی، دانشکده علوم پایه، دانشگاه گلستان، گرگان، ایران.

تاریخ پذیرش: ۱۳۸۹/۱۰/۱۳ تاریخ دریافت: ۱۳۸۹/۱۱/۲۴

## چکیده

کانسار نوچون، با ذخیره قطعی ۲۶۸ میلیون تن با عیار میانگین ۰/۰۳۴ درصد مولیدن (در رده عیار حد ۰/۲۵ درصد) اولین رخداد شناخته شده از کانی‌سازی پورفیری سرشار از مولیدن، ولی به نسبت قبیر از مس در ایران است که از دید کانی‌شناختی، زمین‌شیمیایی و زایشی مورد مطالعه قرار گرفته است. دگرسانی و کانی‌سازی در کانسار نوچون در پیوند با یک استوک بسیار تفرقی یافته پورفیری (ریوداسیت) وابسته به باтолیت الیکو-میوسن مزار رخ داده است. برایه این مطالعه، بیشتر کانی‌سازی مولیدن و مس در کانسار نوچون به شکل رگچه‌های مقاطع (استوک و رک) و بسیار کمتر به صورت افشا رخ داده است. حضور موکبینیت با یادون همراهی کالکوپیریت در رگچه‌های پاتاسیک کوارتز-ایندریت-ارتوكلاز-بیوتیت و رخداد کالکوپیریت در رگچه‌های کوارتز-مگنتیتی اولیه نشان دهنده تقدم زمانی بخشی از کانی‌سازی مس بر مولیدن در مراحل اولیه کانی‌سازی است. همبستگی ضعیف ( $2\% = 0/2$ ) میان مقادیر مولیدن و مس در دگرسانی پاتاسیک و بهویژه در عیارهای بالا، متفاوت بودن شرایط غنی شدگی و رفتار این دو عنصر در سیال‌های گرمابی مسئول کانی‌سازی در دگرسانی باشد. رخداد رگچه‌های ستر کوارتز-کالکوپیریت-پیریت با هاله سریستی که گاه مستقل هستند و گاه درون رگچه‌های مراحل اولیه کانی‌سازی مولیدن (رگچه‌های کوارتز-مولیدنیتی با هاله بیوتیتی) نفوذ کرده‌اند و همچنین رخداد رگچه‌های کوارتز-مولیدنیت بودن هاله دگرسانی بهویژه در بخش‌های افزایش نسبی عیار مس و تا حدودی مولیدن را در کانسنسگ‌های موجود در پهنه دگرسانی فیلیک (سریستی و سیلیسی) به همراه داشته است. وجود همبستگی مثبت ( $5/0 = 0/0$ ) میان عیارهای مولیدن و مس در کانسنسگ‌های با دگرسانی فیلیک که منطقه دگرسانی پاتاسیک را متاثر کرده است می‌تواند نشان دهنده رفتار یکسان این دو عنصر در طی تشکیل و تکامل محلول‌های گرمابی مسئول دگرسانی و کانی‌سازی منطقه دگرسانی فیلیک کانسار باشد. برایه این مطالعه مشخص شد که تمزک اصلی کانی‌سازی مولیدن در بخش‌های ژرف‌تر (دگرسانی پاتاسیک) نسبت به مس (دگرسانی فیلیک پوشانده بهنه پاتاسیک) رخ داده است؛ در نتیجه کانسنسگ‌های پر عیار از مولیدن، مس خیلی بالای ندارند. این مطالعه نشان داد که کانسار نوچون در مقایسه با کانسار سرچشممه (مس-مولیدن) در گروه کانسارهای نوع مولیدن-مس پورفیری رده‌بندی می‌شود. رخداد این زیرگروه از کانسارهای پورفیری به استوک پورفیری سرچشممه (گرانوپوریت-کوارتزمنزونیت) مس ارتباط داده شده است. ترکیب تفرقی یافته تر پورفیری میزان کانسار نوچون (ریوداسیت پورفیری) در مقایسه با استوک پورفیری سرچشممه (گرانوپوریت-کوارتزمنزونیت) که اشباع دیرهنگام از آب مگما مولده آن را نشان می‌دهد، احتمالاً عامل زایش چنین سیال‌هایی بوده است که توانسته است مولیدن را به مقدار قابل توجهی نسبت به مس از درون مذاب پایانی به فاز سیال سرشار از آب، عناصر قلایی و سیلیکا وارد کند که نتیجه آن زایش کانسار مولیدن-مس پورفیری نوچون بوده است.

**کلیدواژه‌ها:** نوچون، مولیدن-مس پورفیری، کانی‌سازی، دگرسانی، زمین‌شیمی، استان کرمان، ایران.

E-mail: behnam.shafiei@gmail.com

\*نویسنده مسئول: بهنام شفیعی

## ۱- پیش‌گفتار

این پژوهش برایه مطالعات میکروسکوپی و همچنین پردازش داده‌های زمین‌شیمیایی، چگونگی رخداد کانی‌شناختی مولیدن و مس و همچنین رفتار زمین‌شیمیایی آنها را در مناطق مختلف دگرسانی ژرف‌زاد کانسار مورد مطالعه و شناسایی قرار داده است. همچنین با استفاده از تلفیق این داده‌ها با دیگر اطلاعات زمین‌شناختی موجود، جایگاه این کانسار در میان انواع اصلی کانسارهای مس و مولیدن پورفیری شناخته شده و جنبه‌های زایشی کانسار مورد بحث قرار گرفته است.

## ۲- زمین‌شناختی کانسار

کانسار تازه اکتشاف شده نوچون در بخش مرکزی کمرنند مس پورفیری کرمان و در ۴ کیلومتری جنوب باخته معدن مس سرچشممه رفسنجان قرار (شکل ۱). این کمرنند در بخش به اصطلاح جنوب خاوری کمرنند ارومیه-دختر یعنی کمرنند دهق-ساردوییه در استان کرمان شکل گرفته که بیشتر از سنگ‌های آتش‌نشانی-رسوبی، نفوذی و نیمه‌آتش‌نشانی ترشیزی تشکیل یافته است (شکل ۱-الف). کانسار نوچون در ۲ کیلومتری تکمیل یافته که از همین توده‌های نفوذی یعنی دامنه‌های شمالی با تولیت مزار (با بلندای ۳۲۸۰ متر) قرار گرفته است (شکل ۱-ب). توپوگرافی پیرامون کانسار خشن است به گونه‌ای که ارتفاعات

کانسار نوچون که در ۴ کیلومتری جنوب معدن مس سرچشممه رفسنجان قرار دارد ابتدا طی یک برنامه اکتشاف ناحیه‌ای توسط زمین‌شناسان موسسه اکتشاف زمین‌شناسی و معدنی یوگ‌سلاوی سابق ( Nedimovic, 1973 ) در فاصله سال‌های ۱۹۷۳ تا ۱۹۷۰ میلادی مورد شناسایی و اکتشاف مقدماتی و در سال‌های گذشته (۱۳۸۶-۱۳۸۸) توسط شرکت ملی صنایع مس ایران مورد اکتشاف تفصیلی قرار گرفت که به کشف و ثبت ذخیره‌ای جدید از کانسارهای پورفیری به نام کانسار نوچون با ذخیره قطعی حدود ۲۶۸ میلیون تن با عیار میانگین ۰/۰۳۴ درصد مولیدن (با عیار حد ۰/۲۵ درصد) انجامید (شرکت مهندسی پارس اولنگ، ۱۳۸۸). هرچند که به نسبت پایین مس در این ذخیره کانسار نوچون را در گروه کانسارهای در حال حاضر غیراقتصادی از دید محتوا مس قرار می‌دهد ولی عیار میانگین بالای مولیدن در این کانسار که همانند با عیار میانگین مولیدن کانسار سرچشممه است آن را یک کانسار پورفیری سرشار از مولیدن معرفی می‌کند. این ویژگی به همراه نزدیکی این کانسار تازه اکتشاف شده به مجتمع مس سرچشممه (حدود ۴ کیلومتر) اهمیت این کانسار را در افزایش تولید کنسانتره مولیدن و به دنبال آن افزایش ارزش افزوده محصولات این مجتمع بیشتر می‌سازد.

جوان ترند (Nedimovic, 1973) (شکل ۱-پ). سن سنجی بروش رنیوم- اسمنیوم روی کانی مولیبدنیت از یک نمونه به نسبت ژرف (نمونه ۷؛ NCP؛ ژرفای ۲۴۲ متری گمانه-NC؛ ۲۲۳NC؛ شفیعی، ۱۳۹۱) سن  $12/83 \pm 0/06$  را نشان داده است که با سن تعیین شده برای کانسار سرچشمی  $12/2 \pm 1/2$  بر پایه سن سنجی روی بیوتیت استوک سرچشمی پورفیری (Shahabpour & Kramers, 1987) اختلاف کمی نشان می‌دهد.

### ۳- روش مطالعه

در این مقاله بر پایه مطالعات میکروسکوپی ۱۴۰ مقطع نازک و ۱۸ مقطع صیقلی تهیه شده از نمونه‌های کانستگ برداشت شده از مغزه‌های اکتشافی کم‌ژرفای (۱۵۰ متر) تا ژرف (۶۰۵ متر) کانسار نوچون، انواع دگرسانی‌های ژرف‌زاد و چگونگی رخداد کانی سازی مولیبدن و مس مورد مطالعه و شناخت قرار گرفته است. مطالعات زمین‌شیمیابی شامل بررسی پراکنده‌گی عناصر مولیبدن، مس و طلا و ارتباط میان آنها در مناطق مختلف دگرسانی بوده است که روی داده‌های زمین‌شیمیابی ۱۲۰ نمونه برداشت شده از ۱۲ گمانه اکتشافی از ژرفای ۴ تا ژرفای ۶۰۵ متری کانسار نوچون انجام شده است. داده‌های مس و مولیبدن از تجزیه شیمیابی نمونه‌های پودری به روش فلورسانس پرتو ایکس (XRF) با حد تشخیص ppm ۵۰ برای مس و ۱۰ ppm برای مولیبدن بدست آمده است. تجزیه شیمیابی طلا بعد از تعییل اولیه نمونه‌ها به روش تشویه با محلول سازی نمونه‌های پُرغلظت و سنجش مقادیر طلای آنها با دستگاه جذب اتمی با حد تشخیص ppm ۰/۰۱ بدست آمده است.

### ۴- ویژگی‌های دگرسانی و کانی‌سازی

مشاهدات صحرایی در محیط کانسار و مطالعات ماکروسکوپی و میکروسکوپی مغزه‌های اکتشافی و مقاطع نازک و صیقلی نمونه‌های برداشت شده به شناخت دگرسانی‌های گرمابی رخداده در کانسار نوچون و همچنین چگونگی رخداد کانی‌سازی مولیبدن و مس در این کانسار کمک کرد که در ادامه نتایج به دست آمده از این مطالعات ارائه شده است:

دگرسانی گرمابی ژرف‌زاد، منطقه‌ای با گسترش تقریبی ۲ کیلومتر مریع را در منطقه نوچون زیر تأثیر قرار داده است و پیشتر در سنگ‌های کوارتز چشمی پورفیری و سنگ‌های آتشفسانی همبر آنها ( توف و آندزیت ) رخداده است. مهم‌ترین دگرسانی‌های گرمابی شناخته شده در محیط کانسار عبارتند از سریسیتی شدن، کلریتی شدن، بیوتیتی شدن، رسی شدن و سیلیسی شدن؛ تورمالینی شدن، کلریتی شدن و اپیدوتی شدن نیز در درجات ضعیف تر حضور دارند. دگرسانی‌های اصلی در کانسار نوچون که به صورت فراگیر و یا هاله‌ای با کانی‌سازی مولیبدن و مس همراه بوده‌اند را می‌توان در ۳ گروه اصلی زیر تقسیم‌بندی کرد (سلطانی‌نژاد، ۱۳۸۹):

(الف) دگرسانی پتاسیک شدید که با حضور کانی‌های فلدسپار پاتاسیم (ارتوز کلاز ثانویه)، بیوتیت ثانویه، ایندیریت با/ یا بدون کلریت مشخص می‌شود. بلورهای ارتوز کلاز در این دگرسانی به صورت بی‌شکل و با کتارهای گردشده حضور دارند و در برخی موارد با رگچه‌های سریسیتی و سیلیسی قطع شده‌اند (شکل ۲-الف).

بیوتیتی شدن با حضور بیوتیت‌های ثانویه به دست آمده از تبدیل بیوتیت‌های اولیه که به فراوانی دیده می‌شوند و اشکال ریز و کاملاً سالم دارند و در برخی موارد کلریتی شده‌اند دیده می‌شود (شکل‌های ۲-ب و ۲-پ). پلازیوکلазها در این دگرسانی سریسیتی شده‌اند ولی شدت سریسیتی شدن آنها کمتر از منطقه فیلیک است.

(ب) دگرسانی فیلیک- پتاسیک که در حقیقت دگرسانی‌ای است که در آن دگرسانی پتاسیک باشد کم تا متوسط تحت تأثیر دگرسانی فیلیک قرار گرفته است و با حضور فراوان تر سریسیت، کوارتز ثانویه و کانی‌های رسی نسبت به ارتوز کلاز ثانویه و بیوتیت ثانویه مشخص می‌شود (شکل ۲-ت).

با بلندای ۲۵۰۰ تا بیش از ۳۰۰۰ متر آن را دربر گرفته‌اند. این ناحیه توسط دره‌هایی به نسبت ژرف بریده شده است که نزدیک به ۲ کیلومتر درازا دارند. توپوگرافی درونی محیط کانسار فروافتاده و به صورت تپه‌ماهوری است. کهن‌ترین واحدهای سنگی محیط کانسار نوچون سنگ‌های آتشفسانی اتوسن بالایی شامل توف‌های حدوداً - اسیدی و سنگ‌های آندزیتی هستند ( Nedimovic, 1973 ) (شکل ۱-پ). آندزیت‌ها و توف‌ها در بیشتر محیط کانسار هورنفلسی و دگرسان شده (سریسیتی، سیلیسی، پروپیلیتی و کربناتی) هستند و بدليل این پدیده‌ها، جدایش و تمیز این دو واحد سنگی ممکن نیست. سنگ‌های نفوذی و نیمه آتشفسانی در محیط کانسار که بر پایه نشانه‌های صحرایی (سطح تماس آنها با سنگ‌های آتشفسانی کهن تر) به دوره‌های جوان تر (الیگوسن و شاید میوسن؟) تعلق دارند، بیشتر به صورت استوک و دایک در سنگ‌های آتشفسانی کهن تر نفوذ کرده‌اند. مهم‌ترین بروزند این سنگ‌ها که بیشتر در بخش‌های باختری و جنوبی محیط کانسار رخ داده است، توده‌های گرانیتی و دیوریتی هستند که بخش‌هایی از باтолیت مizar هستند ( Nedimovic, 1973 ). گرانیت‌ها در جنوب و جنوب خاور منطقه که بیشتر به صورت آپوفیز و کمر به صورت استوک و دایک گسترش یافته‌اند، بیشتر ریزدانه تا متوسط دانه هستند. آنها مرکب از پلازیوکلاز (آلیت، الیگوکلاز)، فلدسپار پاتاسیم، بیوتیت، هورنبلند به عنوان کانی‌های اصلی، زیرکن و اسفن به عنوان کانی‌های فرعی و کلریت و سریسیت به عنوان کانی‌های ثانویه هستند. این سنگ‌ها آثار دگرسانی و کانی‌سازی را نشان نمی‌دهند و گویا نفوذ آنها به درون سنگ‌های آتشفسانی کهن تر تنها سبب هورنفلسی شدن آنها شده باشد؛ بنابراین نمی‌تواند عامل کانی‌سازی در کانسار نوچون در نظر گرفته شوند. دیوریت پورفیری که در جنوب منطقه و در بخش‌های کناره‌ای گرانیت‌ها رخمنون دارد، بیشتر سریسیتی و پروپیلیتی شده است و به ترتیب به رنگ خاکستری تا خاکستری تیره و سبز دیده می‌شود. درشت بلورهای پلازیوکلاز بیشتر کربناتی و سریسیتی شده‌اند و بیوتیت‌ها نیز به کلریت تبدیل گردیده‌اند ( Nedimovic, 1973 ). از دیگر رخمنون‌های منطقه می‌توان به میکرو دیوریت و دایک‌های دیوریت پورفیری اشاره کرد که به صورت آپوفیزهای در سنگ‌های آتشفسانی اتوسن با امتداد شمال خاور- جنوب باختر و با استراتی حدود ۲ متر و طول بیشتر از ده متر نفوذ کرده‌اند. میکرو دیوریت‌ها ریزدانه، خاکستری رنگ و مرکب از پلازیوکلازهای تخته‌ای هستند و آثاری از بلورهای بیوتیت اوژیت، هورنبلند، کلسیت و کلریت در آنها دیده می‌شود. دایک‌های دیوریت پورفیری بیشتر از میکرو دیوریت‌ها گسترش یافته‌اند و در بخش‌های مرکزی منطقه به صورت دگرسان نشده حضور دارند. از دیگر واحدهای سنگی شناخته شده در محیط کانسار می‌توان به ریوداستیت‌ها اشاره کرد که با گسترش محدود و به صورت استوک و دایک‌هایی با روند شمال خاور- جنوب باختر در خاور و شمال خاور منطقه رخمنون دارند ( Nedimovic, 1973 ). این سنگ‌ها بافت پورفیری دارند و به صورت دانه‌درشت و به رنگ خاکستری روش مایل به سفید هستند که بلورهای درشت فلدسپار (آلیت) و کوارتزهای چشمی در یک زمینه بلورین دارند. بنابراین می‌توان این سنگ‌ها را کوارتز چشمی پورفیری نام نهاد. این سنگ‌ها دگرسان شده و دارای بافت استوک‌ورک هستند (شکل ۱-پ). در این سنگ‌ها، پلازیوکلاز بیشتر به سریسیت، و فلدسپار پاتاسیم به سریسیت و کانی‌های رسی تبدیل شده است. درشت بلورهای کوارتز، هرمی‌شکل و یا به صورت گردشده هستند. بیوتیت کمیاب است و توسط کلریت جایگزین شده است. زیرکن و آپاتیت، کانی‌های فرعی در این سنگ‌ها هستند. با توجه به رخداد شدید دگرسانی و کانی‌سازی در این سنگ‌ها و سنگ‌های آتشفسانی مجاور آنها می‌توان این توده را عامل تشکیل کانسار نوچون معرفی کرد ( Nedimovic, 1973 ). سن دقیق این سنگ‌ها مشخص نیست، ولی با توجه به قطع شدن سنگ‌های آتشفسانی اتوسن توسط آنها و همچنین نبود آثار هورنفلسی شدن در آنها، این سنگ‌ها از توده‌های گرانیتی و دیوریتی یادشده

بیویتی ثانویه- ارتوکلاز ثانویه) و همزاد با مولیبدنیت و نه ضرورتاً همراه با آن و سپس بخش دیگر در مراحل میانی تکامل سامانه کانی سازی (دگرسانی فیلیک) و با حضور رگچه‌های سبیر کوارتز- کالکوپیریت- پیریت با هاله سریستی رخ داده است. از این رو، مولیبدنیت زایی و کالکوپیریت زایی تا مرحله پایانی تکامل سامانه کانی سازی گرمابی ادامه نیافه است و تنها کانی سولفیدی که با رگچه‌های مراحل پایانی (رگچه‌های کوارتز- کلسیتی و رگچه‌های ژیپسی) نهشته شده است، پیریت بوده است (سلطانی نژاد، ۱۳۸۹).

## ۵- ویژگی‌های زمین شیمیایی

بر پایه پردازش آماری داده‌های زمین شیمیایی عناصر مولیبدن، مس و طلا، دامنه عیارها برای مولیبدن در کل کانسنگ‌های ژرف‌زاد از کمینه  $0/001$  درصد تا بیشینه  $0/44$  درصد گسترده است و بیشترین جمعیت آماری عیار مولیبدن وابسته به کلاس عیاری  $0/015$  تا  $0/015$  درصد و کمترین آن وابسته به کلاس عیاری  $0/020$  تا  $0/040$  درصد است (شکل ۵) (سلطانی نژاد، ۱۳۸۹). عیارهای مس از کمینه  $0/04$  درصد تا بیشینه  $2/46$  درصد متغیر است و فراوان‌ترین کلاس عیاری  $0/1$  تا  $0/2$  درصد و کمترین آن وابسته به کلاس عیاری  $2/3$  تا  $2/4$  درصد است (شکل ۶) (سلطانی نژاد، ۱۳۸۹). طلا نیز از کمینه  $0/001$  تا بیشینه ppm در کل کانسار پراکنده شده است و بیشترین جمعیت آماری عیار طلا به کلاس عیاری  $0/02$  ppm تا  $0/03$  ppm و کمترین آن متعلق به کلاس عیاری  $1/0$  ppm تا  $0/09$  ppm است (شکل ۷) (سلطانی نژاد، ۱۳۸۹). بر پایه محاسبات زمین آماری انجام شده کانسار نوچون به طور میانگین  $0/034$  درصد مولیبدن،  $0/43$  درصد مس و  $0/25$  ppm طلا دارد (شرکت مهندسی پارس اولنگ، ۱۳۸۸).

بررسی تغییرات عیار مولیبدن، مس و طلا در انواع دگرسانی‌های ژرف‌زاد نشان داد که مولیبدن، بیشترین عیارها را در دگرسانی پاتاسیک و دگرسانی فیلیک متوسط پوشانده دگرسانی پاتاسیک داشته است (شکل ۵)، در حالی که مس بیشترین عیار را در پنهانه دگرسانی فیلیک متوسط پوشانده دگرسانی پاتاسیک نشان داده است (شکل ۶). همچنین طلا بیشترین تمرکز را ابتدا در دگرسانی فیلیک متوسط پوشانده دگرسانی پاتاسیک و سپس در دگرسانی پاتاسیک نشان داده است (شکل ۷).

محاسبه ضربه همبستگی به روش اسپیر من میان مقادیر لاغر عادی عناصر ارتباط میان آنها را در دگرسانی‌های مختلف نشان داد که این ارتباط با نمودارهای دومتغیره نیز تأیید شد. در منطقه دگرسانی پاتاسیک همبستگی میان مولیبدن با مس ( $=0/2$ ) و میان مولیبدن با طلا ( $=0/1$ ) منفی به دست آمد. این نبود همبستگی مثبت میان مولیبدن با مس و طلا با نشانه‌های کانی شناسی و پاراثنزی کانه‌ها همخوانی مناسبی دارد و نشان می‌دهد کانسنگ‌های با عیارهای زیاد از مولیبدن مقادیر پایینی مس و همچنین طلا دارند (سلطانی نژاد، ۱۳۸۹). برخلاف مولیبدن، همبستگی میان مس و طلا در منطقه دگرسانی پاتاسیک مثبت و قوی ( $=+0/8$ ) است. به گفتم بهتر، کانسنگ‌های دارای بیشینه عیار طلا، بیشینه عیار مس نیز دارند (شکل ۸). در کانسنگ‌های پاتاسیک متأثر شده بدولیله دگرسانی فیلیک، ارتباط منفی میان عیارهای مولیبدن با مس و طلا در پنهانه پاتاسیک تعدیل شده و به صفر (میان مولیبدن و مس) تا نزدیک به  $+0/1$  (میان مولیبدن و طلا) رسیده است (شکل ۹). در این پنهانه ارتباط مستقیم بین مس و طلا همچنان دیده می‌شود که ضربه همبستگی مثبت و قوی میان این دو عنصر آن را تأیید می‌کند ( $=+0/8$ ) (شکل ۹) (سلطانی نژاد، ۱۳۸۹). در منطقه دگرسانی فیلیک، ارتباط مستقیمی میان عیارهای مولیبدن با مس و طلا نسبت به دیگر پنهانه‌های دگرسانی دیده می‌شود (شکل ۱۰). ضربه همبستگی مثبت متوجه مولیبدن با مس ( $=+0/5$ ) و مولیبدن با طلا ( $=+0/6$ ) وجود رگچه‌های با ماهیت دوگانه، همان گونه که در مبحث ویژگی‌های دگرسانی و کانی سازی ارائه شد، این ارتباط و همبستگی مثبت را تأیید می‌کند (سلطانی نژاد، ۱۳۸۹). از آنجا که

ج) دگرسانی فیلیک شدیده همراه رسی شدن که با حضور فراوان سریست و کانی‌های رسی مشخص می‌شود و دگرسانی پاتاسیک اولیه را به طور کلی تحت تأثیر قرار داده است (شکل های ۲-۳ و ج). این دگرسانی گسترده‌ترین و فراگیرترین دگرسانی در محلوده کانسار نوچون است که گسترش شمال خاور- جنوب باخته به طول تقريبي ۱۴۰۰ متر و عرض تقريبي ۴۰۰ متر دارد و در کنار گسل‌های اصلی در بخش‌های مرکزی منطقه، شدت بيشتری دارد (شرکت مهندسی مشاور کانایران، ۱۳۸۷). از دید چگونگی رخداد کانی سازی، بر پایه مطالعات میکروسکوپی و ماکروسکوپی نمونه‌ها، کانی سازی مولیبدن و مس در کانسار نوچون بيشتر در چهره رگچه‌های متقطع و استوکورک و کمتر به صورت افشار رخ داده است. از این رو  $14$  نوع رگچه در طی مراحل مختلف کانی سازی ژرف‌زاد شناخته شد که بر پایه روابط قطع شدگی رگچه‌ها،  $8$  نوع از این رگچه‌ها مربوط به مرحله اولیه کانی سازی،  $2$  نوع مربوط به مرحله میانی و  $4$  نوع مربوط به مرحله پایانی کانی سازی در سامانه گرمابی تشخيص داده شدند (جدول ۱).  $5$  نوع از این رگچه‌ها با کانی سازی مولیبدن و مس به صورت مولیبدنیت و کالکوپیریت همراه هستند که بيشتر مربوط به مراحل اولیه تا میانی تکامل سامانه کانی سازی گرمابی بوده‌اند (جدول ۱). مطابق این مطالعات، مرحله اصلی کانی سازی مولیبدن در کانسار نوچون، بيشتر در دگرسانی پاتاسیک و در چهره  $3$  نوع رگچه رخ داده است که عبارتند از: (الف) رگچه کوارتز- مولیبدنیت- ایندریت- ارتوکلاز ثانویه  $\pm$  بیویت ثانویه (شکل ۴-الف)، (ب) رگچه کوارتز- مولیبدنیت- پیریت  $\pm$  کالکوپیریت ایندریت  $\pm$  کالکوپیریت (شکل ۴-ب)، (ج) رگچه کوارتز- مولیبدنیت بدون کانی‌های ثانویه به دست آمده از دگرسانی (شکل های ۳-ب و ۴-پ)، کانی سازی فرعی مولیبدن همراه با رگچه کوارتز- پیریت- کالکوپیریت- سریست  $\pm$  مولیبدنیت در دگرسانی فیلیک رخ داده است (شکل ۴-ت) (سلطانی نژاد، ۱۳۸۹). کانی سازی مس بيشتر با کانی کالکوپیریت در  $2$  مرحله از تکامل گرمابی کانسار رخ داده است؛ کانی سازی مرحله ابتدایی با رگچه کوارتز- مگنتیت  $\pm$  کالکوپیریت  $\pm$  پیریت  $\pm$  بیویت ثانویه به داشخص کانی سازی در مرحله دگرسانی پاتاسیک (بیویتی شدن) است. در این نوع رگچه هیچ گونه همراهی از مولیبدنیت با مگنتیت دیده نشده است (شکل های ۳-الف، پ و ت). رخداد دیگر از کانی سازی مس در چهره رگچه کوارتز- کالکوپیریت- پیریت- سریست  $\pm$  مولیبدنیت روی داده است که شاخص کانی سازی همراه شده با رخداد دگرسانی فیلیک (سریستی شدن) در مراحل میانی کانی سازی در کانسار است (شکل ۳-ج). کانی سازی همزاد و همراه کالکوپیریت با مولیبدنیت تنها در رگچه‌های کوارتز- ارتوکلاز ثانویه- ایندریت اولیه کانی سازی رخ داده است (شکل ۳-ث). گاه این رگچه توسط رگچه‌های کوارتز- سریست- کالکوپیریت- پیریت و همچنین رگچه‌های سبیر ژیپس و رگچه‌های کوارتز- کلسیت  $\pm$  پیریت  $\pm$  پوره هجوم قرار گرفته‌اند و باز شده و دوباره جوش خورده‌اند (شکل های ۴-ث و ۴-ج). حضور رگچه کوارتز- سریست- کالکوپیریت- پیریت در بخش میانی رگچه کوارتز- مولیبدنیت مراحل اولیه کانی سازی سبب شکل گیری رگچه‌های سبیر با ماهیت دوگانه شده است که این گونه رخداد از کانی سازی در مراحل تکامل کانسار نشان می‌دهد که آنها در گامه‌های متفاوتی از کانی سازی در مراحل دیگر شکل گرفته‌اند (شکل ۴-ب). بر پایه این نتیجه گرفت که بيشتر مولیبدن در مراحل اولیه تکامل سامانه کانی سازی گرمابی یعنی در دگرسانی پاتاسیک (رگچه‌های کوارتز- ارتوکلاز ثانویه- بیویت ثانویه- ایندریت) نهشته شده است و این کانی سازی باشد سبب تغییرات میانی سازی در مراحل تکامل کانسار در رگچه‌های کوارتز- سریستی دنبال شده است. در برابر آن، اگرچه کانی سازی مس با رخداد ضعیف کالکوپیریت همراه با رگچه‌های کوارتز- مگنتیتی مراحل اولیه و البته پیش از نهشته مولیبدن آغاز شده است، ولی بخشی از کانی سازی اصلی مس ابتدا با نهشته شدن کالکوپیریت در دگرسانی پاتاسیک (رگچه‌های کوارتز-

مولد این کانسار نسبت به کانسارهای مس و مس- مولیدن پورفیری است؛ به گونه‌ای که کانسازی در کانسار نوچون در پیوند با توده‌های کوارتز چشمی پورفیری رخ داده است، در حالی که کانسازی در کانسارهای مس و مس- مولیدن پورفیری با سنگ‌های کوارتزدیوریتی، گرانودیوریتی و کوارزمونزونیتی رخ داده است (سلطانی‌زاد، ۱۳۸۹).

## ۷- جنبه‌های زایشی کانسار

نتایج این مطالعه نشان داد که کانسار نوچون در زمرة کانسارهای مولیدن- مس پورفیری قرار می‌گیرد. اینکه چرا این کانسار سرشار از مولیدن ولی به نسبت فقیر از مس در همسایگی یک کانسار مس- مولیدن پورفیری مانند سرچشمه (Shahabpour & Kramers, 1987; Shahabpour, 2000a & b; Shaharkhani, 2006a, b & c) قرار گرفته است را باید در ویژگی‌ها و تحولات ماگمایی و گرمابی توده‌های نفوذی مولد کانسار و سیال‌های کانه‌ساز جداده از آنها جستجو کرد. این ویژگی‌ها می‌توانند در چهارچوب میزان آب اولیه ماگمایی مولد، مدت زمان و میزان اشباع بخار آب در این مagmaها، مدت زمان تفرقی بلوری و سرعت جایگزینی ماگماهای مولد در نزدیک سطح زمین، فشار لیتواستاتیک حاکم بر ماگمایی اولیه و همچنین غلظت اولیه لیگاندهای کمپلکس ساز (مانند یون‌های کلریدی، بی‌سولفیدی، فلوریدی) در سیال‌ها و محلول گرمابی بدست آمده از این ماگماها مورد بحث قرار گیرند (حیدری و همکاران، ۱۳۸۶؛ Strong, 1988؛ Candela, 1991؛ Cline, 1995؛ Candela & Holland, 1984 & 1986؛ Cline & Bodnar, 1991). بنابراین، برای دست‌یابی به الگوی زایشی برای کانسار نوچون باید ویژگی‌های زمین‌شیمیابی استوک مولد کانساز به طور دقیق بررسی، فرایندهای سنگ‌زایی مؤثر در زایش آن شناخته و نیز میانبارهای سیال برای دست‌یابی به ویژگی‌های فیزیکی و شیمیابی سیال‌های گرمابی کانه‌ساز مطالعه شود که بیرون از اهداف این مطالعه بوده است. در ادامه با بهره‌گیری از برخی مستندات منتشرشده در ارتباط با تفاوت‌های زایشی کانسارهای مولیدن- مس و مس- مولیدن پورفیری در دنیا و همچنین تلفیق این داده‌ها با برخی از ویژگی‌های کانی‌شناسی، سنگ‌شناسی و زمین‌شیمیابی شناخته شده در کانسار نوچون، عوامل تأثیرگذار در زایش این کانساز مورد بررسی و بحث قرار گرفته و جنبه‌های زایشی احتمالی از کانساز با هدف معرفی پتانسیل‌های پژوهشی این کانسار برای انجام مطالعات تکمیلی آشکار شده است.

همراهی کانسارهای مس و مس- مولیدن پورفیری با توده‌های کوارتزدیوریتی و گرانودیوریتی که غنی از کلسیم و همچنین عناصر آهن، تیتانیم و منیزیم هستند نشان دیده که ماگمایی مادر آنها دچار تفرقی ماگمایی گستردۀ نشده است و به همین دلیل اشباع بخار آب در چنین ماگماهایی که با سرعت پیشتری به سطوح کم‌ژرفای پوسته نفوذ کرده‌اند سریع تر، در دمای بالاتر و البته در فشارهای کمتری صورت می‌گیرد. این شرایط سبب خواهد شد که چنین ماگماهایی به دلیل انحلال‌پذیری کمتر آب در آنها دچار اشباع بخار آب گستردۀ ای نشوند (حیدری و همکاران، ۱۳۸۶؛ Cline & Holland, 1995؛ Candela & Holland, 1986). از آنجا که مس در طی فرایند اشباع سریع بخار آب در چنین ماگماهایی عنصری ناسازگارتر از مولیدن است، به سرعت وارد فاز بخار می‌شود و میزان آن در مذاب باقیمانده به شدت کاهش می‌یابد. یون کلرید هم مانند مس در ماگماهایی که دچار تفرقی گستردۀ نشده‌اند و اشباع بخار آب در آنها سریع تر، در دمای بالاتر و البته در فشارهای کمتری (سطوح کم‌ژرفای پوسته) صورت گرفته است، رفتار ناسازگارتری را نسبت به ماگماهایی که دچار تفرقی گستردۀ ای شده‌اند و دیرتر به حالت اشباع بخار آب رسیده‌اند نشان می‌دهد (حیدری و همکاران، ۱۳۸۶؛ Candela & Holland, 1986).

در چنین شرایطی، مس به طور گستردۀ ای توسعه یون کلرید از مذاب باقیمانده جذب و وارد فاز سیال می‌شود. مولیدن که به دلیل کم بودن میزان تفرقی ماگمایی در

عیارهای عناصر مولیدن، مس و طلا در منطقه دگرسانی فیلیک در مقایسه با منطقه دگرسانی پتاسیک در مجموع پایین تر است؛ بنابراین می‌توان نتیجه گرفت که ضریب همبستگی مثبت و به نسبت قوی ( $+0/6$ ) میان عناصر یادشده در عیارهای کم تا متوسط است و در عیارهای زیاد این همبستگی وجود ندارد. به دیگر گفتار، کانسنگ‌های بسیار پُر عیار از مولیدن، مس و طلای پایینی دارند ولی کانسنگ‌های بسیار پُر عیار از مس دارای عیار قابل ملاحظه‌ای از طلا نیز خواهند بود.

## ۶- مقایسه کانسار با انواع کانسارهای پورفیری مس و مولیدن

برپایه اطلاعات بدست آمده از این پژوهش مشخص شد که کانسار نوچون از عیار میانگین به نسبت پایینی از مس ( $0/043$  درصد) و طلا ( $0/025$  درصد)، ولی عیار میانگین بالایی از مولیدن ( $0/034$  درصد) دارد. این ویژگی‌های عیاری نشان می‌دهد که اهمیت کانسار تازه اکشاف شده نوچون در مولیدن آن است و در حقیقت نوچون یک کانسار سرشار از مولیدن با اهمیت به نسبت پایین مس است که در نزدیکی کانسار سرشار از مس ( $0/07$  درصد) و همچنین غنی از مولیدن ( $0/03$  درصد) سرچشمه (Shahabpour & Kramers, 1987؛ Shahabpour, 2000a & b؛ Shaharkhani, 2006a, b & c) قرار گرفته است (شکل ۱۱). در شکل ۱۲، نوع از کانسارهای پورفیری تولید کننده مولیدن نشان داده شده است. میان دو قطب پایانی کانسارهای پورفیری مس و مولیدن یعنی در یک سو کانسارهایی وجود دارند که از پورفیری و در سوی دیگر کانسارهای مس پورفیری، کانسارهایی وجود دارند که از دید محتوای فلزی یا مولیدن بر مس (کانسارهای مولیدن پورفیری و مولیدن- مس پورفیری) آنها چهره است و یا مس بر مولیدن آنها (کانسارهای مس پورفیری و مس- مولیدن پورفیری) برتری دارد و در نتیجه می‌توان نتیجه گرفت که از همه انواع کانسارهای پورفیری مولیدن و پورفیری مس می‌توان به مقدار زیاد تا کم مولیدن استحصال کرد. با رسم عیارهای میانگین مولیدن و مس کانسار نوچون روی نمودار کانسارهای پورفیری به دلیل بالا بودن محتوای مولیدن در کانسار یادشده، این کانسار در گروه کانسارهای مولیدن- مس پورفیری قرار می‌گیرد (شکل ۱۲). با این ویژگی و به منظور شناسایی نوع این کانسار از میان انواع کانسارهای پورفیری مولیدن و مس مانند کانسارهای مولیدن پورفیری (نوع کلیماکس و نوع مونزونیتی)، مس- مولیدن پورفیری، و مولیدن- مس پورفیری برحیکی از ویژگی‌های بینایین جداگانه این کانسارها از یکدیگر با کانسار نوچون مورد مقایسه قرار گرفته است (جدول ۲). از مهم ترین تفاوت‌های آشکار کانسار نوچون با کانسارهای مولیدن پورفیری نوع کلیماکس می‌توان به گرانیتی و رویلیتی نبودن ترکیب توده نفوذی مولد کانسار، نبود مناطق دگرسانی‌های مگنتیت- توپاز، گرانیز و کانی‌های فلوروردار مانند فلورین و توپاز، نبود کانی‌سازی قلع و تنگستن به صورت کاسیتیریت، شیلیت و وفرامیت و همچنین نبود سنگ‌های آلکالن شاخص مناطق کافنی (درون و پشت کمان ماگمایی) در محیط کانسار نوچون اشاره کرد که این ویژگی‌ها به طور قوی این کانسار را از گروه کانسارهای مولیدن پورفیری نوع کلیماکس بیرون می‌آورد. همچنین کانسار نوچون را می‌توان با عیار میانگین مولیدن پایین تر ( $0/034$  درصد)، عیار میانگین مس بسیار بالاتر ( $0/43$  درصد) و رخداد معمول کالکوپیریت، نبود کانی‌های فلوریت، شیلیت و پاولیت و همچنین معمول نبودن رگه‌های آپلیت در محیط کانسار قابل تمایز از کانسارهای مولیدن پورفیری نوع مونزونیتی نیز می‌باشد (سلطانی‌زاد، ۱۳۸۹). ویژگی‌های دگرسانی و کانی‌سازی کانسار نوچون به همراه حضور معمول کانی‌هایی همچون انیدریت، ژیپس و تورمالین و وجود غلظت‌های بسیار بالاتر از رنیوم در کانسنگ‌های مولیدنیت آن، این کانسار را در گروه کانسارهای متداول مس و مس- مولیدن پورفیری قرار می‌دهد، ولی تفاوت اصلی کانسار نوچون با کانسارهای یادشده افزون بر عیار میانگین مس بسیار پایین تر ( $0/43$  درصد) و عیار میانگین بسیار بالای مولیدن ( $0/034$  درصد) آن، ترکیب توده نفوذی

داده است که بیشتر کانسارهای مولیدن و مولبیدن- مس پورفیری با توده‌های نفوذی بزرگ (باتولیت) همراه و همچووار هستند (Candela & Holland, 1986). هنگامی که یک حجم بزرگ از چنین ماگماهایی دچار تبلور و تفریق بلوری پیش از اشباع زودرس می‌شود، مقادیر زیادی از مولبیدن به سبب این تفریق طولانی مدت می‌تواند از ماگماهای مادر در حال تفریق و تبلور وارد مذاب باقیمانده و نهایتاً سیال گرمابی شود و بدین صورت کانسارهای پورفیری سرشار از مولبیدن، ولی فقیر از مس را شکل دهد (Candela & Holland, 1986). همچوواری کانسار نوچون با باتولیت گرانودیبوریتی ممتاز می‌تواند تأیید کننده شرایط یادشده برای تشکیل کانساری با عیار بالا از مولبیدن باشد. با این تفاسیر می‌توان گفت که تفریق بیشتر و طولانی تر با باتولیت ممتاز سبب شده است که توده‌های تفریق یافته‌تر با سیلیکا ( $\text{SiO}_2$ ) قلیایی‌ها ( $\text{K}_2\text{O}$  و  $\text{Na}_2\text{O}$ ) و آب بیشتری با ترکیب ریوداسیت (کوارتز چشمی پورفیری) شکل بگیرند که می‌توانستند سیالی به مراتب غنی‌تر از مولبیدن در مقایسه با سیال‌های گرمابی جداشده از توده‌های کمتر تفریق یافته کوارتزدیبوریتی و گرانودیبوریتی تولید کنند. در حضور سیال‌هایی با قلیایت ( $\text{K}_2\text{O}$  و  $\text{Na}_2\text{O}$ ) و سیلیکای ( $\text{SiO}_2$ ) بالا، مولبیدن موجود در سیال گرمابی می‌توانسته است احتمالاً به صورت کمپلکس‌های قلیایی همانند سدیم‌اسید‌مولبیدات ( $\text{Na}_2\text{MoO}_4$ )،  $\text{NaHMoO}_4$  و پتاسیم اسید‌مولبیدات ( $\text{K}_2\text{MoO}_4$ )،  $\text{KHMnO}_4$  حمل شده باشد این رفتار که اثبات این الگو نیاز به مطالعه میانبارهای سیال از جنبه‌های گوناگون دارد. نبود همبستگی زمین‌شیمیایی عیارهای مولبیدن با عیارهای مس و طلا در دگرسانی پتاسیک کانسار نوچون می‌تواند نشانگر متفاوت بودن رفتار مولبیدن نسبت به این دو عنصر در سیال‌های گرمابی مولبیدن کانسازی و منطقه دگرسانی پتاسیک کانسار و شرایط متفاوت غنی‌شدگی و همچنین نهشت آنها از سیال‌های و محلول‌های کانساز باشد. همبستگی مثبت و قوی میان عیارهای مس و طلا در دگرسانی پتاسیک کانسار می‌تواند گویای رفتار همانند این دو عنصر در سیال‌های گرمابی مسئول دگرسانی و کانسازی پنهانه پتاسیک کانسار باشد. این رفتار همانند، شاید نشانگر این باشد که طلا و مس هر دو در این سیال‌ها توسط حضور ضعیف کمپلکس‌های کلریدی ( $\text{CuCl}_2$  و  $\text{AuCl}_3$ ) حمل و نهشته شده باشند (Cygan & Candela, 1995; Gammons et al., 1997)؛ در سیال‌های گرمابی مسئول دگرسانی و کانسازی دگرسانی پتاسیک احتمالاً می‌توانسته است دلیل غلظت‌های پایین عناصر مس و طلا در این کانسار باشد. در محلول‌های گرمابی مسئول دگرسانی و کانسازی مرحله فیلیک به دلیل غلظت بالای یون بی‌سولفید در آنها (فاز بخار) (Gammons et al., 1997) و همچنین هجوم گسترده آب‌های جوی روی سامانه گرمابی- ماگمایی رو به نابودی منطقه پتاسیک (فاز شوراب)، مولبیدن به همراه مس و طلا کم نهشته شده در دگرسانی پتاسیک می‌توانسته است توسط این محلول‌های اسیدی، ریقی و کم دمایتر (۲۵۰ تا ۳۵۰ درجه سانتی‌گراد) شسته و ضمن افزایش انحلال پذیری آنها در این محلول‌ها توسط کمپلکس‌های اسید‌مولبیداتی ( $\text{H}_2\text{MoO}_4$ ) و بای مولبیداتی ( $\text{MoO}_3 \cdot \text{nH}_2\text{O}$ ) و بی‌سولفیدی (مس و طلا) دوباره نهشته شده باشند (Wood & Frasert, 1978; Cao, 1989). ضریب همبستگی  $0/5$  تا  $0/6$  مولبیدن با مس و طلا در دگرسانی فیلیک کانسار نوچون و رخداد مولبیدن و مس به صورت رگچه‌های کوارتز- پیریت- کالکوپیریت- مولبیدنیت با هاله سریستی شاید بازتابی از همراهی این دو عنصر در محلول‌های گرمابی مسئول دگرسانی و کانسازی مرحله فیلیک کانسار باشد. همبستگی قوی عیارهای طلا با مس در دگرسانی فیلیک، می‌تواند نشان‌دهنده رفتار همانند این دو عنصر در محلول‌های گرمابی کانسارهای مولبیدن- مس پورفیری باشد و این نشان می‌دهد که احتمالاً طلا و مس هر دو به وسیله کمپلکس‌های بی‌سولفیدی انتقال یافته‌اند. این نشان می‌دهد که شرایط غنی‌شدگی

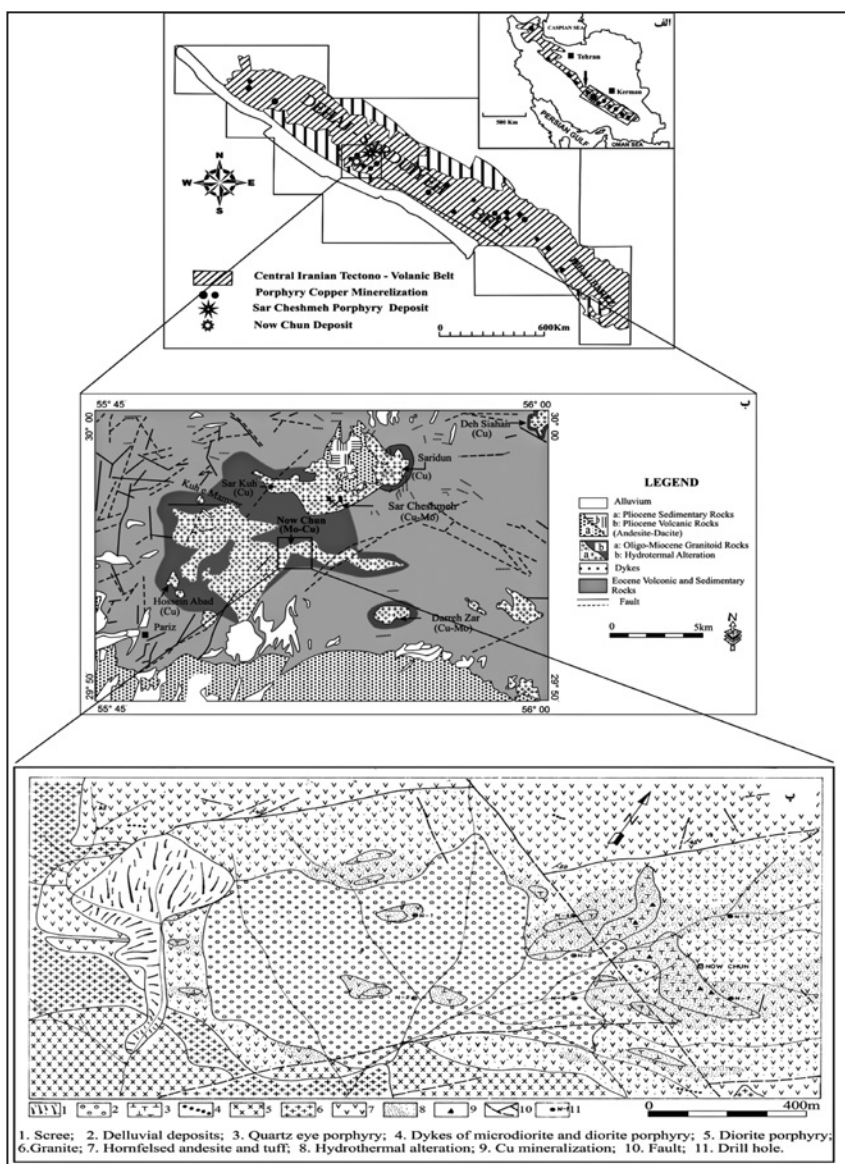
ماگماهای مولد کانسارهای مس و مس- مولبیدن پورفیری توسط فازهای به سرعت متبلور شده جذب می‌شود (سیلیکات‌های آهن- منیزیم دار مانند بیوتیت و فازهای تیتانیم دار مانند اسفن) (Candela & Holland, 1986; Mahood & Hildreth, 1983؛ کلرید در مذاب باقیمانده تأثیر نمی‌گیرد، در نتیجه میزان آن در مذاب باقیمانده پیش از اشباع نهایی بخار آب به شدت کم می‌شود (حیدری و همکاران، ۱۳۸۶؛ Candela, 1991؛ Strong, 1988؛ Candela & Holland, 1984؛ Strong, 1986)؛ این شرایط سبب خواهد شد که سیال گرمابی به دست آمده از تبلور چنین مذاب‌هایی که به سرعت در ژرفهای کم پوسته جایگزین شده‌اند غنی از مس ولی فقیر از مولبیدن شوند که در نتیجه به شکل گیری کانسارهای مس پورفیری و یا مس- مولبیدن پورفیری مانند کانسارهای سن‌مانوئل، بینگهام و سرچشممه می‌انجامد. در مقایسه، همراهی کانسارهای مولبیدن- مس پورفیری با توده‌های ریوداسیتی (کوارتز چشمی پورفیری) و رگه‌های آپلیتی که غنی از پتاسیم و لوکوکراتیک هستند نشان می‌دهد که ماگماهای مادر توده‌های نفوذی مولد چنین کانسارهایی تفریق بلوری بیشتری را در پوسته دچار شده‌اند و در نتیجه اشباع بخار آب چنین ماگماهایی برای زایش سیال‌های گرمابی کانسارساز گردیده و به مقدار بیشتری در بخش‌های ژرف تر پوسته و البته در فشار زیادتری صورت گرفته است (Woodcock & Hollister, 1978). از آنجا که مولبیدن در طی تبلور و تفریق بلوری گسترده و طولانی، رفتار ناسازگارتری در مقایسه با مس نشان می‌دهد، در مذاب باقیمانده از تفریق، تمرکز می‌یابد؛ ولی مس ضمن تبلور و تفریق طولانی مدت ماگما رفتار ناسازگار نشان می‌دهد و وارد کانی‌های در حال تبلور (پیروکسن، بیوتیت، سولفیدها) می‌شود که در نتیجه Ishihara, 1977؛ Rajamani & Naldret, 1978؛ Groves & McCarthy, 1978؛ Burnham, 1979؛ White et al., 1981؛ Hendry et al., 1981؛ Lehmann, 1982؛ Candela & Holland, 1984 & 1986؛ Gunow, 1983) نشان داده است که غلظت مس با افزایش  $\text{SiO}_2$  در مذاب باقیمانده کم می‌شود که مولبیدن در فاز مذاب باقیمانده از تفریق، تمرکز می‌یابد (Kesler, 1973؛ Sheraton & Black, 1973). از آنجا که جدایش مس و طلا از مذاب‌های باقیمانده از تبلور و تفریق بلوری به درون فاز بخار به شدت به مقدار بیون کلرید در فاز مذاب باقیمانده وابسته است، یون کلرید نیز در شرایط تفریق و تبلور طولانی مدت ماگماهای مولد کانسارهای مولبیدن- مس پورفیری، رفتاری همانند مس یعنی رفتار ناسازگار از خود نشان خواهد داد و می‌تواند در نتیجه تبلور طولانی مدت ماگما وارد کانی‌های بیوتیت و آمفیبول شود و بنابراین مقدار آن در مذاب پایانی به دست آمده از تفریق پیش از اشباع بخار به شدت کم می‌شود. در نتیجه، کمبود یون کلرید در مذاب باقیمانده نمی‌تواند سبب جذب مقادیر قابل ملاحظه‌ای از مس از این مذاب و رود آن به درون سیال گرمابی نهایی شود. این شرایط سبب خواهد شد که مقدار مس در سیال گرمابی به شدت کاهش یابد (حیدری و همکاران، ۱۳۸۶؛ Candela & Holland, 1984 & 1986)؛ پژوهش‌ها و تجربیات آزمایشگاهی نشان داده است که غلظت اولیه یون کلرید در مذاب‌های باقیمانده به دست آمده از تفریق ماگماهای و کمپلکس‌های کلریدی در طی تکامل سامانه ماگماهای هیچ تأثیری در جدایش مولبیدن- مس و مس- مولبیدن پورفیری ندارد (حیدری و همکاران، ۱۳۸۶؛ Crerar & Barnes, 1976). ادامه تبلور و تفریق مذاب باقیمانده، اشباع شدن مذاب از آب و بخار را به دنبال دارد که سبب می‌شود مولبیدن موجود در فاز پایانی تفریق وارد فاز بخار سرشار از آب شود و یک سیال گرمابی غنی از مولبیدن، ولی فقیر از مس را ایجاد نماید (حیدری و همکاران، ۱۳۸۶؛ Candela & Holland, 1986؛ Strong, 1988؛ Candela, 1991)

مولیبدن در کانسار نوچون است و در برابر آن، مس و طلا تمرکز قابل ملاحظه‌تری را به سبب حضور کانسنگ‌های با عیار بالا در پهنه‌های کم‌ژرفای کانسار یعنی همراه با دگرسانی‌های پتاسیک- فیلیک و فیلیک قوی دارند. با توجه به پایین بودن عیارهای مولیبدن، مس و طلا در پهنه دگرسانی‌فیلیک در مقایسه با پهنه دگرسانی پتاسیک، همبستگی مثبت میان عیارهای عناصر یادشده در عیارهای کم تا متوسط است و در عیارهای زیاد این همبستگی وجود ندارد. بنابراین کانسنگ‌های بسیار پر عیار از مولیبدن، مس و طلای پایینی دارند و شرایط غنی‌شدگی مس و طلا هر دو به‌ویژه در پهنه‌های پتاسیک و فیلیک یکسان بوده است؛ در نتیجه پهنه‌های پر عیار از مس، از طلا نیز غنی هستند. تغیریقیافته تر بودن توده نفوذی مولد کانسار (دیوداستی یا کوارتز چشمی پورفیری) و حضور رگه‌های آپلیتی غنی از فلدسپار پتاسیم، گند بودن روند اشیاع بخار آب و در پی آن ناسازگار بودن عنصر مولیبدن نسبت به عنصر مس در طی تبلور و تغیریق بلوری گستردگی و طولانی در مگماهای مولد احتمالاً از عوامل اصلی کنترل کننده محتوای مولیبدن و مس این کانسار بوده‌اند و در نتیجه کانسار نوچون ویژگی‌های زمین‌شناسی و کانی‌سازی نزدیک به کانسارهای نوع مولیبدن- مس پورفیری را نشان داده است که می‌تواند اولین رخداد گوارش شده از این نوع کانسارها در ایران به شمار رود. از این رو می‌توان به وجود و اکتشاف این نوع از کانسارها در کمریند مس پورفیری کرمان و دیگر نواحی مس خیز ایران امیدوار بود.

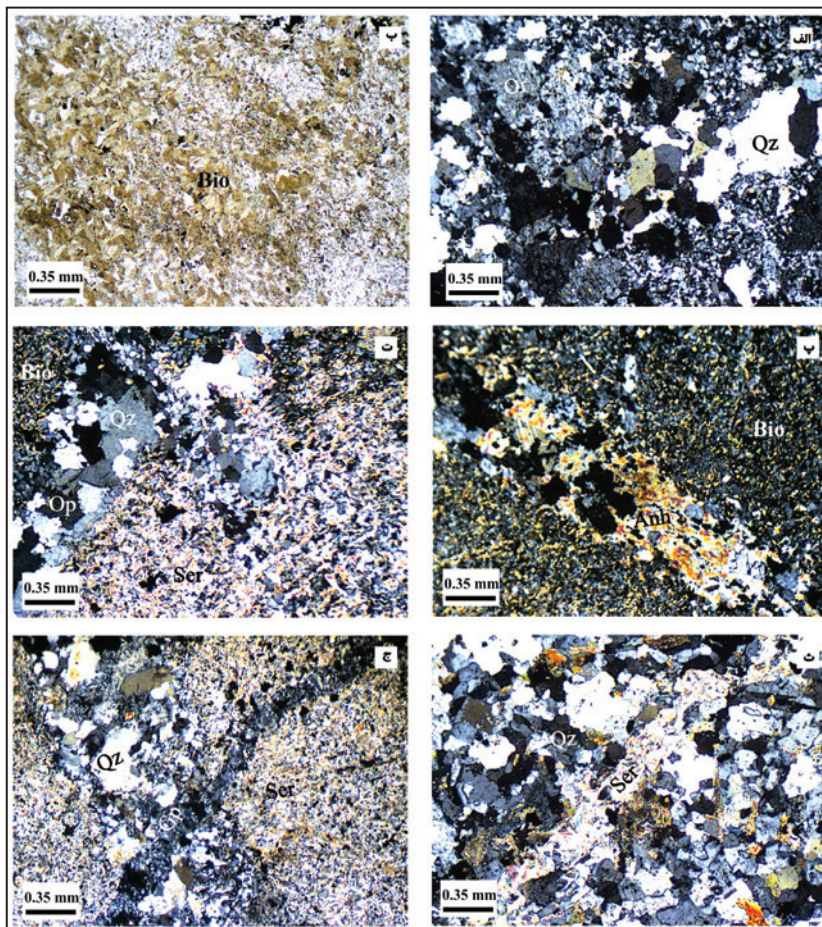
مس و طلا به‌ویژه در دگرسانی پتاسیک و فیلیک یکسان بوده است و مناطق پر عیار از مس، از طلا نیز غنی هستند.

## ۸- نتیجه‌گیری

بر پایه این مطالعه، دگرسانی‌های چیره همراه با کانی‌سازی مولیبدن و مس در کانسار نوچون، در بردارنده دگرسانی‌های پتاسیک شدید، پتاسیک متأثر شده توسط دگرسانی فیلیک و دگرسانی فیلیک شدید بودند. کانی‌سازی مولیبدن بیشتر در دگرسانی پتاسیک و در چهره ۳ نوع رگچه شامل رگچه کوارتز- مولیبدنیت- ایندریت- ارتوکلاز ثانویه  $\pm$  بیوتیت ثانویه، رگچه کوارتز- مولیبدنیت- پیریت  $\pm$  کالکوپیریت  $\pm$  ایندریت  $\pm$  بیوتیت ثانویه و رگچه کوارتز- مولیبدنیت بدون کانی‌های ثانویه به دست آمده از دگرسانی، و کانی‌سازی مس بیشتر با کانی کالکوپیریت در دو مرحله از تکامل سامانه گرمابی کانسارساز در چهره رگچه کوارتز- مگنتیت  $\pm$  کالکوپیریت  $\pm$  پیریت  $\pm$  بیوتیت ثانویه مربوط به مرحله ابتدایی در پهنه دگرسانی پتاسیک و رگچه کوارتز- کالکوپیریت- پیریت- سریسیت  $\pm$  مولیبدنیت در پهنه دگرسانی فیلیک مربوط به میانی کانی‌سازی مس بیشتر با کانی‌های دگرسانی پتاسیک در مقایسه با مس و طلا می‌توان نتیجه گرفت که بخش‌های ژرف کانسار، محل تمرکز بخش چیره کانی‌سازی

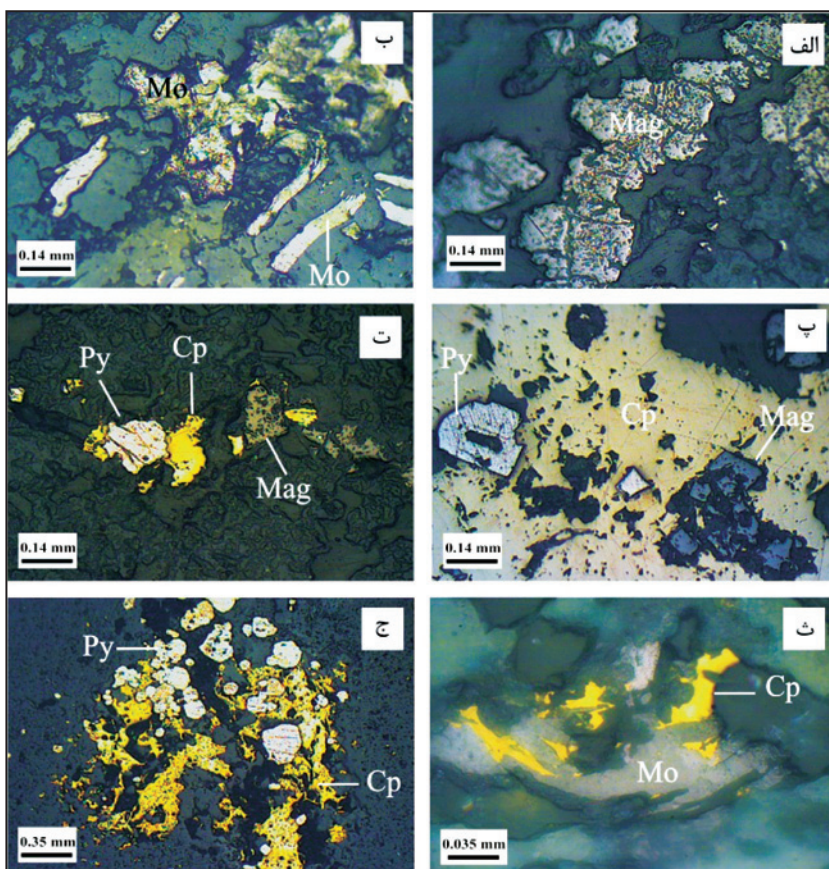


شکل ۱- (الف) نقشه ساده‌شده کمریند مس پورفیری کرمان (کمریند دهج- ساردوبیه) و موقعیت آن در نقشه ساده‌شده زمین‌شناسی ایران (Nedimovic, 1973)؛  
ب- نقشه ساده‌شده زمین‌شناسی عمومی ناحیه پاریز و موقعیت کانسار نوچون و دیگر کانسارهای پورفیری منطقه، (اطمینان، ۱۳۵۶؛ Sarie & Mijalkovic, 1973)؛  
پ- نقشه ساده‌شده زمین‌شناسی کانسار نوچون .(Nedimovic, 1973)

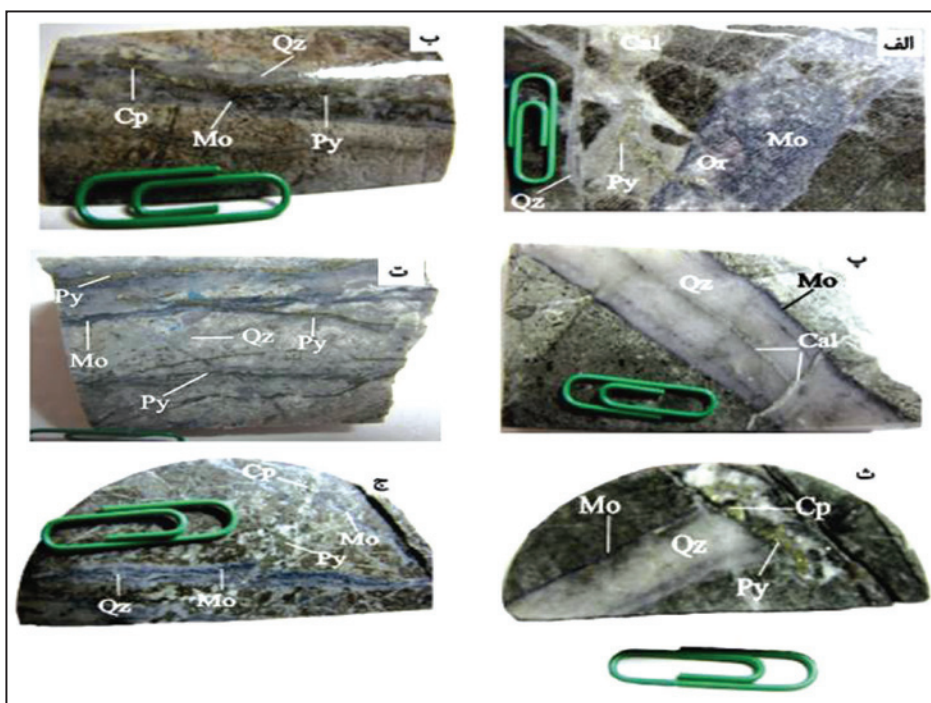


شکل ۲- انواع دگرسانی‌های شناخته شده در کانسار نوچون؛  
 الف) قطع شدگی رگچه کوارتز توسط ارتوکلاز؛ ب) بیوتیت  
 شدن؛ پ) دگرسانی پتاسیک با حضور رگچه انیدریت در زمینه  
 سنگ بیوتیتی شده؛ ت) پوشیده شدن دگرسانی پتاسیک توسط  
 دگرسانی فیلیک (کوارتز، سریسیت و کانی کدر (پیریت))؛  
 ث) دگرسانی فیلیک با حضور رگچه سریسیت در زمینه سنگ  
 سیلیسی شده؛ ج) قطع شدگی رگچه کوارتز ثانویه و دگرسانی  
 فیلیک توسط رگچه ژپس (سلطانی نژاد، ۱۳۸۹).

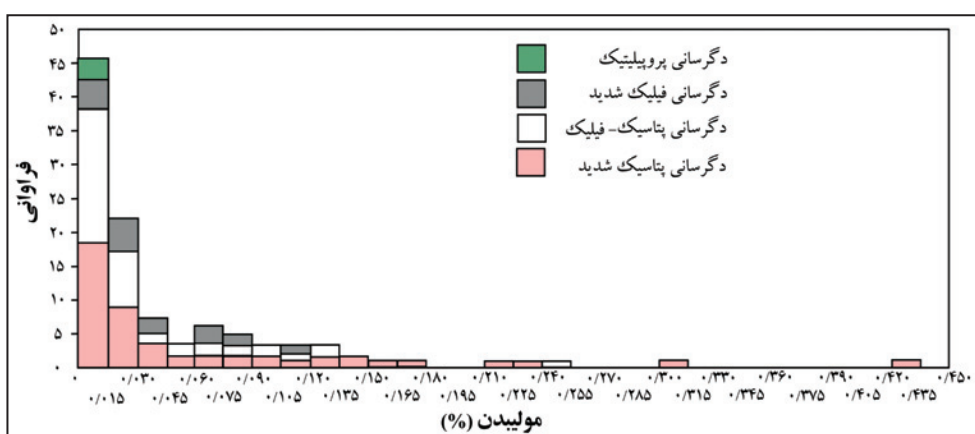
اختصارات: ارتوکلاز: Or؛ کوارتز: Qz؛ بیوتیت: Bio؛  
 انیدریت: Op؛ کانی‌های اپک: Anh؛ ژپس: Gp؛ سریسیت: Ser.



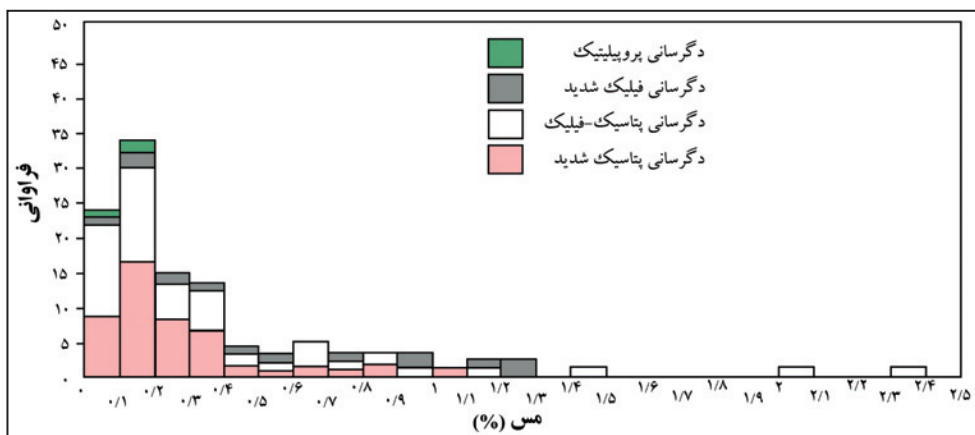
شکل ۳- تصاویر میکروسکوپی از چگونگی رخداد مولیبدنیت  
 و کالکوپیریت در مهم‌ترین رگچه‌های کانه‌دار در کانسار  
 نوچون: الف) رگچه مگنتیت؛ ب) رگچه کوارتز- مولیبدنیت؛  
 پ) رگچه‌های کوارتز- مگنتیت- کالکوپیریت؛ ث- رگچه  
 مگنتیت- کالکوپیریت؛ ت) رگچه کوارتز- پیریت-  
 کوارتز- مولیبدنیت- کالکوپیریت؛ ج) رگچه کوارتز- پیریت-  
 کالکوپیریت. همه تصاویر در حالت نور پل (ppl) گرفته شده‌اند  
 (سلطانی نژاد، ۱۳۸۹). اختصارات: مگنتیت: Mag؛ پیریت: Py؛  
 مولیبدنیت: Mo؛ کالکوپیریت: Cp.



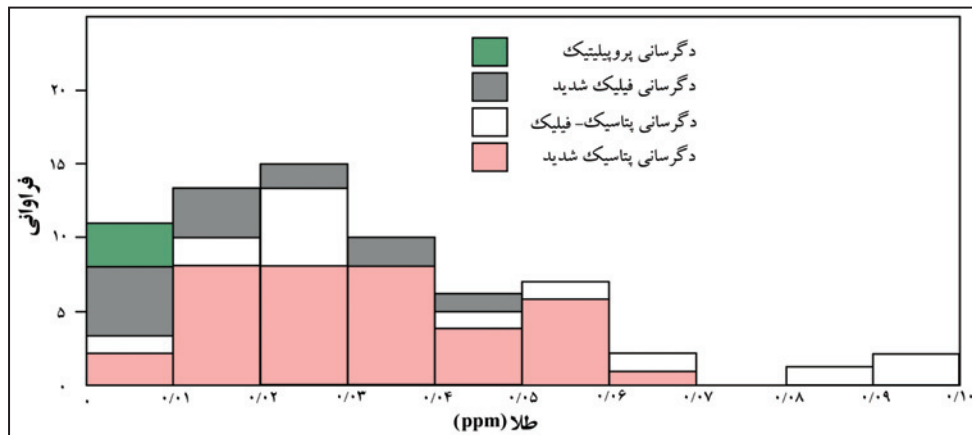
شکل ۴- تقدم و تأخیر زمانی تشکیل رگچه‌ها بر پایه روابط قطع شدگی آنها در کانسار نوچون؛  
 الف) رگچه سبز کوارتز- مولیبدنیت- ارتوکلاز در کانستگ بیوتیتی شده که با رگچه‌های پسین دارای کوارتز- پیریت- کلسیت باز شده است؛  
 ب) بازشدگی رگچه کوارتز- مولیبدنیت با رگچه کوارتز- پیریت- کالکوپیریت در یک کانستگ بیوتیتی شده؛ پ) رگچه سبز کوارتز- مولیبدنیت که با رگچه‌های ظریف تا نازک کلسیت باز و قطع شده است؛ ت) قطع شدگی و جایه‌جا شدن رگچه‌های نازک کوارتز- مولیبدنیت با رگچه‌های نازک پیریت در زمینه سنگ کوارتزموزنیتی؛  
 ث) قطع شدگی رگچه کوارتز- مولیبدنیت توسط رگچه سبز کوارتز- کالکوپیریت- پیریت؛  
 ج) قطع شدگی و جایه‌جا شدن رگچه کوارتز- مولیبدنیت توسط رگچه ظریف کوارتز- پیریت- کالکوپیریت در یک کانستگ بیوتیتی شده (سلطانی نزاد، ۱۳۸۹). اختصارات: کوارتز: Qz؛ ارتوکلاز: Or؛ پیریت: Py؛ مگنتیت: Mag؛ اپیدوت: Ep؛ کلسیت: Cal؛ مولیبدنیت: Mo؛ کالکوپیریت: Cp.



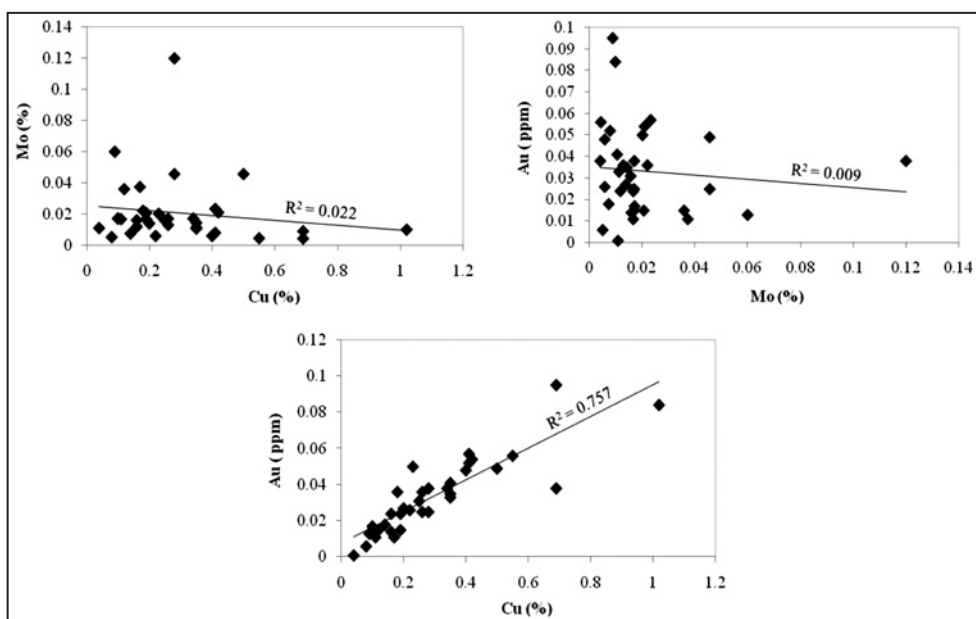
شکل ۵- توزیع زمین‌شیمیایی مولیبدن در دگرسانی‌های ژرف‌زاد کانسار نوچون (سلطانی نزاد، ۱۳۸۹).



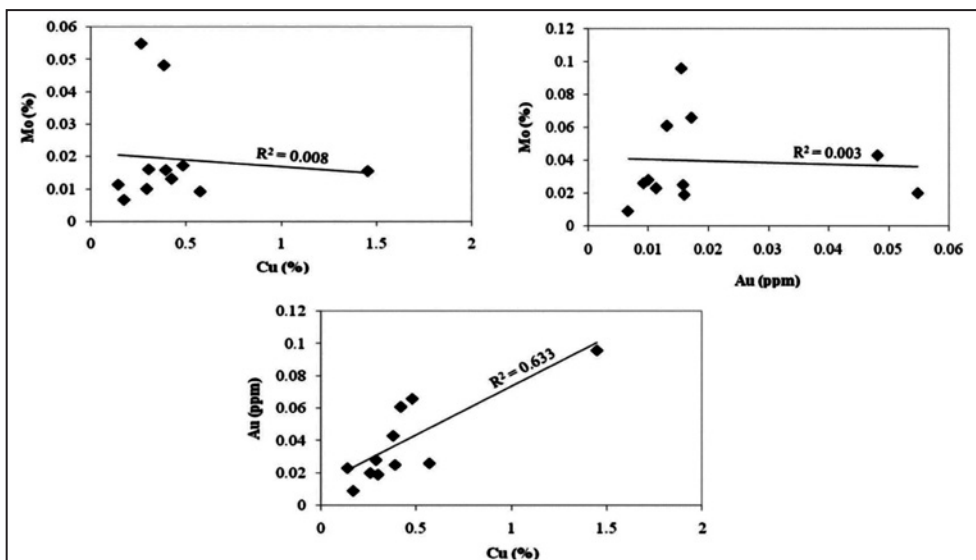
شکل ۶- توزیع زمین‌شیمیایی مس در دگرسانی‌های ژرف‌زاد کانسار نوچون (سلطانی نزاد، ۱۳۸۹).



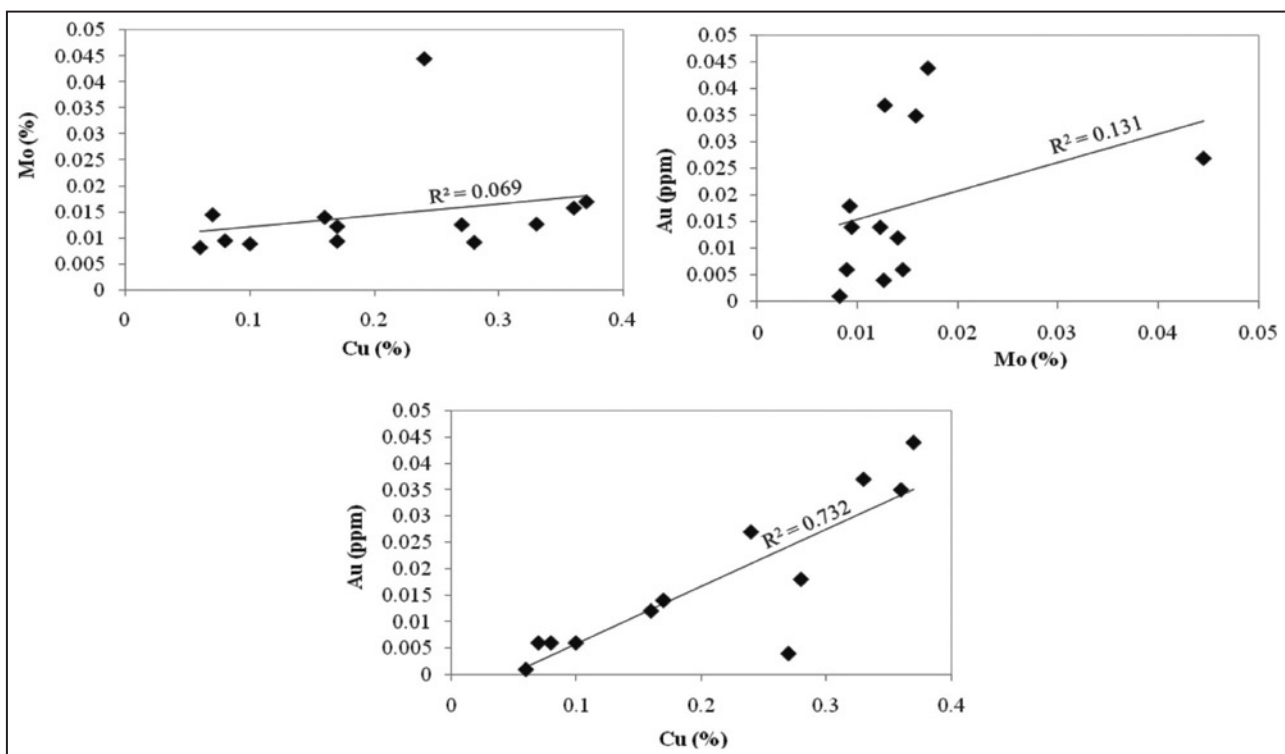
شکل ۷- توزیع زمین شیمیایی طلا در دگرسانی های ژرف زاد کانسرا نوجون (سلطانی نژاد، ۱۳۸۹).



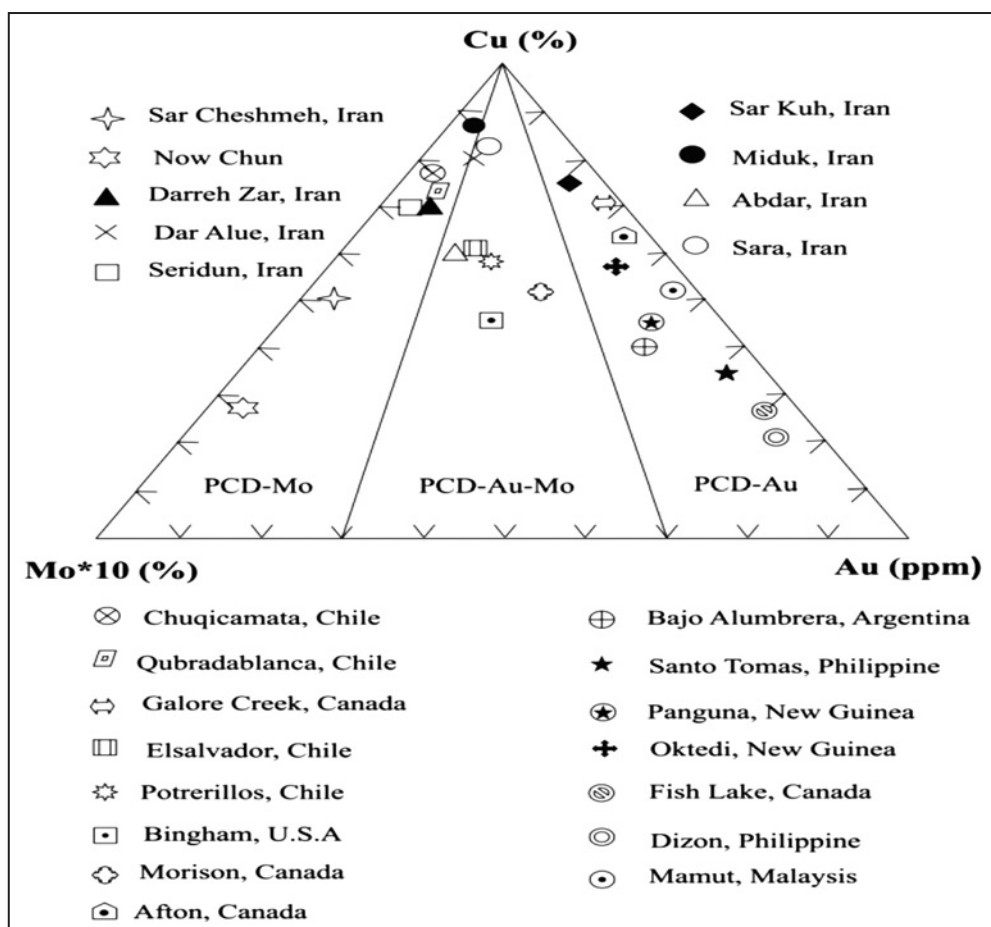
شکل ۸- ارتباط میان عبارهای مولیبدن، مس و طلا به همراه نسبت هایی از آنها با یکدیگر در کانسنگ های پهنه دگرسانی پتابسیک (سلطانی نژاد، ۱۳۸۹).



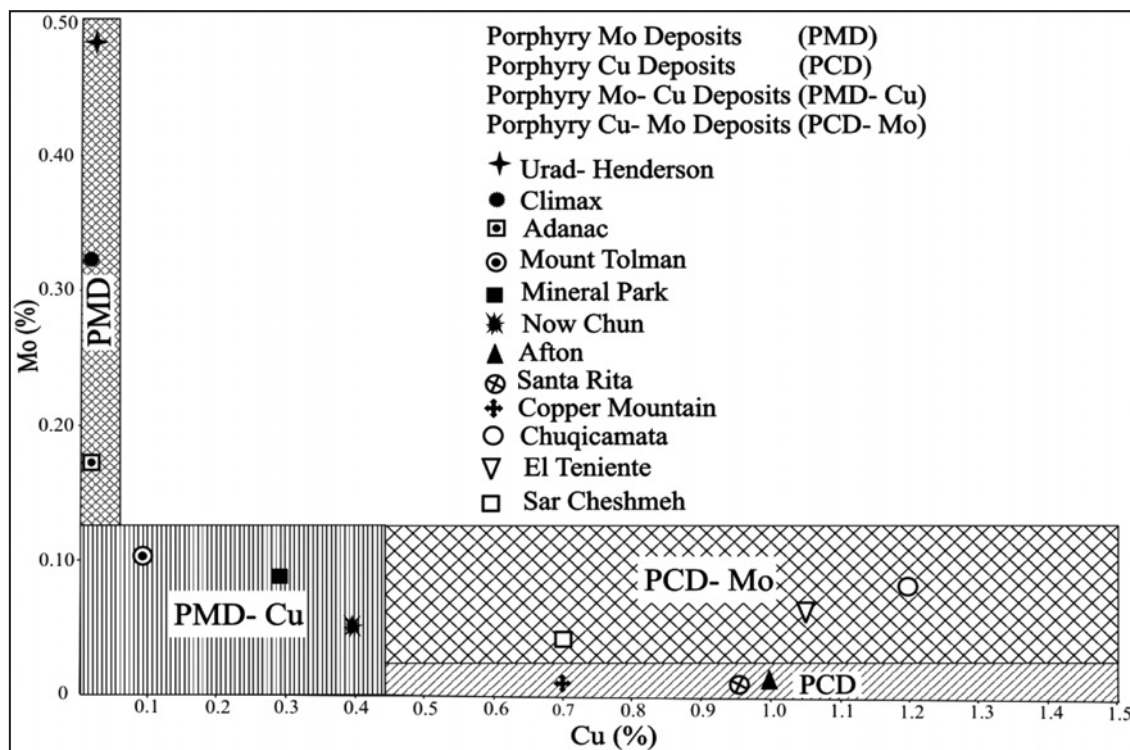
شکل ۹- ارتباط میان عبارهای مولیبدن، مس و طلا به همراه نسبت هایی از آنها با یکدیگر در کانسنگ های پهنه دگرسانی فلیک متوسط پوشانده پهنه دگرسانی پتابسیک (سلطانی نژاد، ۱۳۸۹).



شکل ۱۰- ارتباط میان عیارهای مولیبدن، مس و طلا به همراه نسبت‌هایی از آنها با یکدیگر در کانسنجک‌های پهنه دگرسانی فیلیک شدید (سلطانی نژاد، ۱۳۸۹).



شکل ۱۱- موقعیت کانسار نوجون در نمودار جداکننده انواع کانسارهای مس پورفیری. نمودار بایه از Cox & Singer (1988) و موقعیت کانسارهای مس پورفیری کرمان از Shafiei & Shahabpour (2008) و موقعیت کانسارهای جهان از Vila & Sillito (1991).



شکل ۱۲- جایگاه کانسار نوچون و کانسارهای مهم پورفیری جهان در نمودار جداکننده انواع کانسارهای پورفیری مس و مویلیدن (نمودار پایه با تغییرات از .(Westra & Keith (1981))

Veinlets-type mineralogy	Magmatic stages	Hydrothermal stages		
	Late	Early	Middle	Late
Or-Qz	—?			
Mag		—		
Mag±Qz		—		
Qz-Mag-Cp±Bt±Anh		—		
Qz-Mo-Anh-Or±Bt		—		
Qz-Mo-Py±Cp±Anh±Bt		—		
Qz-Tur		—		
Qz-Mo		—	—	
Qz-Py-Cp-Ser±Mo			—	
Qz-Py-Ser±Chl±Cl			—	
Cal				—
Cal-Py			—	—
Qz±Cal±Ep±Py			—	—
Gp			—	—

جدول ۱- توالی زمانی تشکیل انواع رگجه‌ها در طی مراحل تکامل دگرسانی- کانی سازی کانسار نوچون (سلطانی‌ژاد، ۱۳۸۹): اختصارات: ارتو کلار=Or؛ کوارتنز=Qz؛ مگنتیت=Mag؛ کالکوپیریت=Cp؛ بیوتیت=Bt؛ آندیریت=Anh؛ مولیبدنیت=Mo؛ پیریت=Py؛ تورمالین=Tur؛ سریسیت=Ser؛ کلریت=Chl؛ رس=Cl؛ کلسیت=Cal؛ اپیدوت=Ep؛ ژپس=Gp.

جدول ۲- مقایسه برخی ویژگی‌های سنگ‌شناصی، کانی‌شناصی و عباری شناخته شده از کانسار نوچون با رده‌های اصلی کانسارهای پورفیری مس و مولیبدن (Drummond et al., 1979; Etminan, 1977; Hezarkhani et al., 1999; Kesler, 1973; Kesler et al., 1977; Kimura et al., 1979; Lehmann, 1982; Berzina et al., 2005; Lowell & Guilbert, 1970; McMillan, 1979; Osatenko & Jones, 1979; Reed & Jambor, 1979; Soregaroli & Whitford, 1979; Soregaroli & Nelson, 1979; Kirkham & Sinclair, 1996; .(Titley & Beane, 1981; Waldner et al., 1979; Sillitoe, 1972; Westra & Keith, 1981; White et al., 1979

نوع کانسار ویژگی	کانسار نوچون	کانسار مولیبدن (نوع موذونیتی)	کانسار مولیبدن پورفیری (نوع گرانیتی)	کانسار مولیبدن پورفیری و پورفیریت	کانسار مس- مولیبدن پورفیری	کانسار مس پورفیری
توکیب و نوع توده گرانیتوبیدی منشأ	ریوداسیت (نوع I)	گرانیت پورفیری، آپلیت، کوارتزموذونیت (نوع I)	گرانیت پورفیری، آپلیت، لوکوگرانیت، ریولیت، کوارزلاتیت (نوع A)	گرانوپورفیریت پورفیری، گرانیت، آلساکیت، پلیت (نوع I)	ریوداسیت (نوع I)	کوارتردیبوریت پورفیری، گرانوپورفیریت و داسیت
سری ماگمایی توده نفوذی منشأ	کالک آلکالین	بیشتر کالک آلکالین	آلکالین، آلکالی-	کلسیک، کالک آلکالین	کالک آلکالین	کالک آلکالین
موقعیت زمین‌ساختی	مناطق فشارشی یا ترافشارشی در کمان‌های کناره قاره‌ای	مناطق فشارشی یا ترافشارشی در کمان‌های کناره قاره‌ای	مناطق کششی یا ترافشارشی در کمان‌های کناره قاره‌ای	مناطق کششی (مربط با کافت پشت کمان ماغمایی کناره قاره‌ای)	مناطق فشارشی یا ترافشارشی در کمان‌های کناره قاره‌ای	مناطق فشارشی یا ترافشارشی در کمان‌های کناره قاره‌ای
الگوی دگرسانی	پتاسیک غنی از مگنتیت، پتاسیک، پتاسیک-فلیک، فلیک، پروپیلیتیک	پتاسیک، فلیک، آرژیلیک، پروپیلیتیک	پتاسیک، سیلیسی، توپاز و مگنتیت، فلیک، رسی، پروپیلیتیک، گریزن و گارنت	پتاسیک، فلیک، آرژیلیک	پتاسیک، فلیک، پروپیلیتیک، آرژیلیک	پتاسیک، فلیک، پروپیلیتیک، آرژیلیک
حضور انیدریت	به مقدار زیاد	به مقدار جزیی تا فرعی	به مقدار فرعی	-	-	به مقدار فرعی
حضور ڈیپس	-	به مقدار زیاد تا فرعی	به مقدار فرعی	-	-	به مقدار زیاد تا فرعی
حضور فلورین	-	به مقدار جزیی	-	معمول (٪۰.۵-٪۰.۲) به شکل فلوئوریت و توپاز	کم تا متوسط (٪۰.۰۵-٪۰.۱۵) به شکل فلوئوریت	-
حضور آپلیت	-	معمول	فرعی تا ضعیف	معمول	معمول	فرعی تا ضعیف
حضور تورمالین	-	به مقدار جزیی تا فرعی	به مقدار جزیی تا فرعی	-	-	به مقدار جزیی تا فرعی
حضور مگنتیت	معمول (به مقدار زیاد)	معمول (به مقدار زیاد)	جزیی تا فرعی (٪۰/۰۵)	معمول (به مقدار زیاد)	فرعی	فرعی
میانگین مس (٪)	۰/۸۵	۰/۳۷	۰/۳-۱	۰/۰۰۱-۰/۰۵	۰/۰۰۸-۰/۱	۰/۴۳
میانگین مولیبدن (٪)	۰/۰۰۶	۰/۰۴	۰/۰۱۵	۰/۳-۰/۴۵	۰/۱-۰/۲	۰/۰۳۴
میانگین طلا (g/t)	۰/۰۸	۰/۰۱۲	۰/۰۱۲	-	-	۰/۰۲۵
حضور سولفیدهای مس	کالکوپیریت	بیشتر کالکوپیریت و کمتر بورنیت	بیشتر کالکوپیریت و کمتر بورنیت	کالکوپیریت به صورت فرعی است	کالکوپیریت به صورت فرعی	بیشتر کالکوپیریت
بی‌هنجاري قلع (ppm)	کمیاب	جزیی تا فرعی	کمیاب	زیاد (کاسیتیریت و استانیت)	جزیی تا فرعی	فرعی (٪۹۶۴-٪۶۴) بیشنه مقدار در رگچه کوارتر-تورمالینی)
بی‌هنجاري تنگستن (ppm)	کمیاب	جزیی تا فرعی (شیلیت)	کمیاب	زیاد (ولفرامیت)	فرعی (شیلیت و پاولیت)	جزیی تا فرعی (٪۱۱۴-٪۶) مقدار در رگچه کوارتر-تورمالینی)
بی‌هنجاري رنیوم (ppm)	-	زیاد (۲۰۰-۱۶۰۰)	زیاد (۵۰-۱۰۰۰)	جزیی (٪۷-۸۰)	جزیی (٪۲۲-۱۲۹)	زیاد (۵۶۶-۲۰۰۰)
میزان (٪) Cu/Mo	۱۰۰:۱-۱۵۰:۱	۱:۱-۱۰:۱	۱۵:۱-۴۰:۱	۱۵۰-۱:۱۰۰	۱:۱-۱:۳۰	۲:۱-۱۴:۱
نمونه	لورنکس، بتلهم، میدوک	برنداء، سیرپیتا، بگداد، منزال پارک	سن مانوئل، چوکی کاماتا، سرچشم، دره زار	کلیماکس، هندرسون، مونت امونز	انداکو، آداناک، کوارتر تهلیل	-----

## کتابنگاری

- اطمینان، ۵، ۱۳۵۶- نقش سیالات در مکانیسم دگرسانی و کانی سازی در کانسار مس پورفیری سرچشم، گزارش سازمان زمین‌شناسی کشور.
- سلطانی نژاد، س، ۱۳۸۹- مطالعه توزیع و رفتار ژئوشیمیایی مولیبدن در کانسار پورفیری تحت اکتشاف نوچون، جنوب معدن مس سرچشم رفسنجان، استان کرمان، پایان‌نامه کارشناسی ارشد زمین‌شناسی اقتصادی، دانشگاه گلستان، ۱۱۲ صفحه.
- شرکت مهندسی پارس اولنگ، ۱۳۸۸- گزارش پایان عملیات اکتشاف کانسار مس نوچون.
- شرکت مهندسی مشاور کانایران، ۱۳۸۷- گزارش نهایی مطالعات زمین‌شناسی و آنراسیون محدوده نوچون در مقیاس ۱:۵۰۰۰.
- شفیعی، ب، ۱۳۹۱- طرح پژوهشی با عنوان سن سنجی ایزوتوپی کانسارات مس پورفیری کرمان بر اساس روش رنیوم-آسمیوم مولیبدنیت، گزارش منتشر نشده، ۳۵ صفحه.
- حیدری، م، اصفهانی نژاد، م، وادی، م، محبی، آ، دلاور، ت. و موسوی، ع، ۱۳۸۶- مقدمه‌ای بر فرآیندهای کانسارت، ترجمه کتاب Robb, L. Introduction to ore forming process نوشته Robb, L. Introduction to ore forming process نوشته.
- سازمان زمین‌شناسی و اکتشافات معدنی کشور، ۵۸۴ صفحه.

## References

- Berzina, N. A., Sotnikov, I. V., Economou-Eliopoulos, M. & Eliopoulos, G. D., 2005- Distribution of rhenium in molybdenite from porphyry Cu-Mo and Mo-Cu deposits of Russia (Siberia) and Mongolia, *Ore Geology Reviews* 26, 91-113.
- Burnham, C. W., 1979- Magmas and hydrothermal fluids, In: Barnes H.L.,(ed) *Geochemistry of hydrothermal ore deposits*, Wiley New York 2, 71-136.
- Candela, P. A. & Holland, H. D., 1984- The partition of Copper and Molybdenum between silicate melts and aqueous fluids, *Geochimica et Cosmochimica Acta* 48, 373-380.
- Candela, P. A. & Holland, H. D., 1986- A mass transfer model for copper and molybdenum in magmatic hydrothermal systems: The origin of porphyry-type deposits, *Economic Geology* 81, 1-19.
- Candela, P. A., 1991-, Controls on ore metal ratios in granite-related ore systems: an experimental and computational approach, *Earth Science* 83, 317-326.
- Cao, X., 1989- Solubility of molybdenite and the transport of molybdenum in hydrothermal solution, Ph.D. Thesis Iowa State University.
- Cline, J. S. & Bodnar, R. J., 1991- Can economic porphyry copper mineralization be generated by a typical calc-alkaline melt, *Geophysical Research* 96, 8113-8126.
- Cline, J. S., 1995- Genesis of porphyry copper deposits: the behavior of water, chloride, and copper in crystallizing melts, in Pierce F. W., and Bolm J. G., eds., *porphyry copper deposits of the American Cordillera*, Arizona Geological Society Digest 20, 69-82.
- Cox, D. P. & Singer, D. A., 1988- Distribution of gold in porphyry copper deposits U.S.Geol.Surv.Bull., 1877 -C:C1-C14.
- Crerar, D. A. & Barnes, H. I., 1976- Ore solution chemistry V.Solubilities of chalcopyrite and chalcocite assemblages in hydrothermal solution at 200 °c to 350 °c, *Economic Geology* 71, 772-794.
- Cygan, G. L. & Candela, P. A., 1995- Preliminary study of gold partitioning among pyrrhotite, pyrite, magnetite, and chalcopyrite in gold saturated chloride solutions at 600 °c to 700 °c, 140 MPa (1400bars), *Mineralogical Association of Canada Short Course* 23, 129-137.
- Drummond, A. D., Sutherland Brown, A., Young, R. J. & Tennant, S. J., 1979- Gibraltar regional metamorphism, mineralization, hydrothermal alteration and structural development, *The Canadian Institute of Mining and Metallurgy*, 195-205.
- Etminan, H., 1977- A porphyry copper-molybdenum deposit near the Sungun village, Iran Geological Survey Internal Report, 24p.
- Gammons, C. H., Yu, Y. & Williams-Jones, A. E., 1997- The disproportionation of gold (I) chloride complexes at 25 °c to 200 °c, *Geochimica et Cosmochimica Acta* 61, 1971-1984.
- Groves, D. I. & McCarthy, T. S., 1978- Fractional crystallization and the origin of tin deposits in granitoids, *Mineralium Deposita* 13, 11-26.
- Gunow, A. J., 1983- Trace element mineralogy in the porphyry molybdenum environment, Unpub. Ph.D. Thesis, University Colorado, 267p.
- Hendry, D. A. F., Chivas, A. R., Reed, S. B. J. & Long, J. V. P., 1981- Geochemical evidence for magmatic Fluids in porphyry copper mineralization, Part II,ion-probe analysis of Cu contents of mafic minerals, Koloula Igneous Complex, *Contr.Mineralogy Petrology* 78, 404-412.
- Hezarkhani, A., 2006a- Hydrothermal evolutions at the Sar Cheshmeh porphyry Cu-Mo deposit, Iran: Evidence from fluid inclusions , *J. Asian Earth Science* 28, 409-422.
- Hezarkhani, A., 2006b- Mineralogy and fluid inclusion investigations in the Raigan porphyry system, Iran: the path to an uneconomic porphyry copper deposits, *J. Asian. Earth Science* 27, 598-612.
- Hezarkhani, A., 2006c- Mass changes during hydrothermal alteration/mineralization in the Sar Cheshmeh porphyry copper deposit, SE Iran, *J. Inter. Geol. Rev.*, 48, 841-860.
- Hezarkhani, A., Williams-Jones, A. E. & Gammons, C. H., 1999- Factors controlling copper solubility and chalcopyrite deposition in the Sungun porphyry copper deposit Iran, *Mineralium Deposita* 34, 770-783.
- Ishihara, S., 1977- The magnetite-series and ilmenite-series granitic rocks, *Mining Geology* 217, 293-305.
- Kesler, S. E., 1973- Copper, molybdenum and gold abundances in porphyry copper deposits, *Economic Geology* 68, 106-112.

- Kesler, S. E., Lewis, J. F., Jones, L. M. & Walker, R. L., 1977- Early island-arc intrusive activity, Cordillera Central, Dominican Republic: *Contr. Mineralogy Petrology* 65, 91-99.
- Kimura, E. T., Bysouth, G. D. & Drummond, A. D., 1979- Porphyry molybdenum Endako deposit of the calc-alkalic suite, Canadian Institute of Mining and Metallurgy, 444-454.
- Kirkham, R. V. & Sinclair, W. D., 1996- Porphyry copper, gold, molybdenum, tungsten, tin, silver, in geology of Canadian Mineral Deposit Types,(ed) O.R. Eckstrand, Sinclair W. D., and Thorpe R. I., Geological Survey of Canada, Geology of Canada, Geological Society of America ,The Geology of North America 8, 421-446.
- Lehmann, B., 1982- Metallogeny of tin: Magmatic differentiation versus geochemical heritage, *Economic Geology* 77, 50-59.
- Lowell, J. D. & Guilbert, J. M., 1970- Lateral and vertical alteration- mineralization zoning in porphyry ore deposits, *Economic Geology* 65, 378-408.
- Mahood, G. A. & Hildreth, W., 1983- Large partition coefficient for trace elements in high-silica rhyolites, *Geochimica et Cosmochimica Acta* 47, 11-30.
- McMillan, W. J., 1979- Geology and genesis of the Highland Valley ore deposits and the Guichon Creek Batholith, Canadian Institute of Mining and Metallurgy, 85-104.
- Nedimovic, R., 1973- Exploration for ore deposits in Kerman Region, Geological Survey of Iran, Rep 53, 247p.
- Osatenko, M. J. & Jones, M. B., 1979- porphyry copper Valley Copper deposit of the calc-alkalic suite, Canadian Institute of Mining and Metallurgy, 130-143.
- Rajamani, V. & Naldret, A. J., 1978- Partition of Fe. Co. Ni. And Cu between sulfide liquid and basaltic melts and the composition of Ni-Co sulfide deposits, *Economic Geology* 73, 82-93.
- Reed, A. J. & Jambor, J. L., 1979- Highmont: linearly zoned copper-molybdenum porphyry deposits and their significance in the genesis of the Highland Valley ores, Canadian Institute of Mining and Metallurgy, 163-181.
- Saric, V. & Mijalkovic, N., 1973- Metallogenic map of Kerman region, 1:500000 scale. In: Nedimovic R (ed) Exploration for ore deposits in Kerman region. Geological Survey Iran Rep 53, 247pp.
- Shafiei, B. & Shahabpour, J., 2008- Gold distribution in porphyry copper deposits of Kerman region, southeastern Iran. Sciences. I.R. Iran, 19, No.3, 247-260.
- Shahabpour, J. & Kramers, J. D., 1987- Lead isotope data from the Sar Cheshmeh porphyry copper deposit, Kerman, Iran, Mineral. Deposita., 22, 278-281.
- Shahabpour, J., 2000a- Some sulfide silicate assemblages from the Sar Cheshmeh porphyry copper deposit, Kerman, I. R. Iran, J. Sci. I. R. Iran 11, 39-48.
- Shahabpour, J., 2000b- Behaviour of Cu and Mo in the Sar Cheshmeh porphyry copper deposit, Kerman, C.I.M. Bull., 93, 44-52.
- Sheraton, J. W. & Black, L. P., 1973- Geochemistry of mineralized granitic rocks of northeast Queensland, *Geochem. Explor* 2, 331-348.
- Sillitoe, R. H., 1972- A plate tectonic model for the origin of porphyry copper deposits, *Economic Geology* 67, 184-197.
- Smith, R. W., Norman, D. I. & Popp, C. J., 1980- Calculated solubility of molybdenite in hydrothermal solutions [abs], *Geological Society of America Abstracts with programs* 12, 525p.
- Soregaroli, A. E. & Nelson, W. I., 1979- Porphyry molybdenum Boss Mountain deposit of the calc-alkalic suite, Canadian Institute of Mining and Metallurgy, 432-443.
- Soregaroli, A. E. & Whitford, D. F., 1979- porphyry copper-molybdenum Brenda deposit of the calc-alkalic suite, Canadian Institute of Mining and Metallurgy, 186-194.
- Strong, D. F., 1988- A model for granophilic mineral deposits, in Roberts R.G., and Sheahan P.A., (eds.), *Ore Deposit Models* Geoscience Canada, Reprint series 3, 59-66.
- Titley, S. R. & Beane, R. E., 1981- Porphyry copper deposits Part I.Geologic settings, petrology, and tectogenesis Part II. Hydrothermal alteration and mineralization, *Economic Geology* 75th Anniversary, 214-269.
- Vila, T. & Sillitoe, R. H., 1991- Gold- rich Porphyry systems in the Maricunga belt, northern Chile, *Economic Geology* 86, 1238-1260.
- Waldner, M. W., Smith, G. D. & Willis, R. D., 1979- porphyry copper-molybdenum Lornex deposit of the calc-alkalic suite, Canadian Institute of Mining and Metallurgy, 120-129.
- Westra, G. & Keith, B. S., 1981- Classification and genesis of stock work molybdenum deposits, *Economic Geology* 76, 844-873.
- White, W. H., Bookstrom, A. A., Kamilli, R. J., Ganster, M. W., Smith, R. P., Ranta, D. E. & Steininger, R. C., 1981- Character and origin of climax-type molybdenum deposits , *Economic Geology* 75th Anniversary, 270-316.
- White, W. H., Stewart, D. R. & Ganster, M. W., 1979- Porphyry molybdenum Adanac(Ruby Creek) deposit of the calc-alkalic suite, Canadian Institute of Mining and Metallurgy, 476-483.
- Wood, B. J. & Fraser, D. G., 1978- Elementary thermodynamics for geologists, Oxford University Press, 303p.
- Woodcock, J. R. & Hollister, V. F., 1978- Porphyry molybdenite deposits of the North American cordillera, *Minerals Sci. Eng* 10, 3-18.

# Mineralogical, Geochemical and Genetic Aspects of Mineralization in Now-Chun Porphyry Mo-Cu Deposit, Kerman Province, Iran

S. Soltaninejad<sup>1</sup>, B. Shafiei<sup>2\*</sup>

<sup>1</sup>M. Sc., Department of Geology, Faculty of Sciences, Golestan University, Gorgan, Iran

<sup>2</sup>Assistant Professor, Department of Geology, Faculty of Sciences, Golestan University, Gorgan, Iran

Received: 2011 February 13

Accepted: 2012 January 03

## Abstract

The Now-Chun deposit, in the Kerman porphyry copper belt, with proved reserve of 268 Mt ore grading 0.034% Mo (100 ppm cut off) and 62 Mt ore grading 0.43% Cu (0.25 cut off), is the first known occurrence of Mo-rich, relatively Cu-poor porphyry mineralization in Iran which is studied from the mineralogical, I, and genetic point of view. The alteration and mineralization of the Now-Chun deposit is related to the highly differentiated porphyritic stock (rhyodacite) belonging to the Oligo-Miocene Mamzar batholith. Based on the present study, the main part of Mo and Cu mineralization in the Now-Chun deposit occurred more in the form of cross-cutting veinlets (stockwork) and less as dissemination type. The presence of molybdenite with/without chalcopyrite association in quartz-anhydrite-orthoclase-biotite potassic veinlets and chalcopyrite occurrence in primary quartz-magnetite veinlets is indicative of the priority of part of the Cu mineralization respect to the Mo during the primary stage of mineralization. The initial mineralization of Mo in the form of molybdenite occurred in quartz-anhydrite-orthoclase-biotite-pyrite-chalcopyrite. The weak correlation between Mo and Cu in the potassic alteration zone ( $r = -0.2$ ) especially in the high grade ores indicates the difference between the enrichment conditions of both elements in responsible hydrothermal fluids for this alteration and mineralization zone. The presence of thick quartz-pyrite-chalcopyrite veinlets with sericitic halo and quartz-molybdenite without alteration halo either as independent or as intruded within early veinlets (quartz-molybdenite-anhydrite-orthoclase-biotite) have been associated with increasing of Mo and Cu grades in moderately phyllitic alteration zone (sericitic and silicified rocks). The positive correlation between Mo and Cu in moderate phyllitic zone ( $r \geq 0.0$  to  $+0.5$ ) which affected potassic ores indicates the similar behavior of both Mo and Cu during formation and evolution of the hydrothermal solution, which is responsible for the alteration and mineralization in the phyllitic zone. This study revealed that the main concentration of Mo occurred in deep parts (potassic zone) of the deposit; whereas, Cu is associated with the shallow parts, especially with moderate phyllitic zone which affected the potassic zone. As a result, the high grade Mo ores are not Cu-rich and vice versa. The present study indicated that the Now-Chun deposit in comparison with the Sar Cheshmeh deposit (Cu-Mo porphyry) is categorized within the Mo-Cu porphyry deposits. This sub-group of porphyry Cu and Mo deposit is attributed to the function of the Mo-rich and relatively Cu-poor hydrothermal fluids. The more differentiated composition of the ore-hosting porphyry in the Now-Chun deposit (rhyodacite) in comparison with the Sar Cheshmeh porphyry stock (granodiorite-quartzmonzonite), which indicates the late water saturation in its parent magma, was probably the factor of generating such fluids that could segregate the significant proportion of Mo in respect to Cu from the residual melts into  $H_2O$ , alkalies and silica-enriched fluid phase which ultimately resulted in forming the Mo-Cu porphyry deposit.

**Keywords:** Now-Chun, Mo-Cu porphyry, Mineralization, Alteration, Geochemistry, Kerman Province, Iran.

For Persian Version see pages 11 to 24

\*Corresponding author: B. Shafiei; E-mail: behnam.shafiei@gmail.com